

IV. KVALITA OVZDUŠÍ V ČESKÉ REPUBLICE

Hodnocení kvality ovzduší se provádí s ohledem na ochranu zdraví populace a na ochranu ekosystémů a vegetace. Mapová interpretace je nezbytným východiskem pro indikaci oblastí s překročením imisních limitů z hlediska ochrany lidského zdraví, pro které legislativa vyžaduje přípravu programů pro zlepšení kvality ovzduší, případně regulačních rádů.

Pro lepší orientaci v plošných mapách znečišťujících látek byla zavedena nová jednotná barevná škála, kde jednotlivé barvy odpovídají dané úrovni znečištění ovzduší (obr. IV.1). V některých mapách znečišťujících látek, kde jsou vysoké hodnoty koncentrací, je barevná škála rozšířena o tmavě hnědou barvu, značící velmi vysoké úrovně znečištění ovzduší v daném území.

IV.1 SUSPENDOVANÉ ČÁSTICE

Znečištění ovzduší suspendovanými částicemi frakcí PM_{10} a $PM_{2,5}$ zůstává jedním z hlavních problémů, které je třeba řešit při zajišťování kvality ovzduší ČR. Překračování imisních limitů PM_{10} a $PM_{2,5}$ se stále významným způsobem podílí na vymezování oblastí s nadlimitním znečištěním ovzduší.

IV.1.1 Znečištění ovzduší suspendovanými částicemi v roce 2018

Suspendované částice PM_{10}

K překročení 24hodinového imisního limitu PM_{10} došlo v roce 2018 na 31 % stanic (45 stanic z celkového počtu 144 s dostatečným počtem dat pro hodnocení; tab. XIII.1, obr. IV.1.2). V porovnání s rokem 2017, kdy bylo překročení denního

IV. AIR QUALITY IN THE CZECH REPUBLIC

The evaluation is implemented in relation to protection of the health of the population and protection of ecosystems and vegetation. Map interpretation is an essential starting point for indication of areas where the pollutant limit levels are exceeded from the viewpoint of protection of human health, for which the legislation requires preparation of programmes to improve the ambient air quality or regulatory codes.

A new common colour scale has been introduced to improve orientation in the maps of areas of polluting substances where a specific colour corresponds to a particular level of the air pollution (Fig. I.1). In some of the maps of pollution substances the colour scale is extended newly by dark brown signifying very high level of the air pollution in the specific area.

IV.1 SUSPENDED PARTICULATE MATTER

Air pollution by suspended particulate matter of PM_{10} and $PM_{2,5}$ fractions remains one of the main problems to be resolved in ensuring air quality in the Czech Republic. Exceeding of the pollution limit levels for PM_{10} and $PM_{2,5}$ continues to make a significant contribution to the extent of areas with above-limit air pollution.

IV.1.1 Air pollution by suspended particulates in 2018

Suspended particulate matter PM_{10}

The 24-hour pollution limit level for PM_{10} was exceeded in 2018 at 31% of stations (45 stations of a total number of 144 with a sufficient amount of data for the evaluation; Tab. XIII.1, Fig. IV.1.2).

	≤ dolní mez pro posuzování (LAT) ≤ lower assessment threshold (LAT)
	dolní mez pro posuzování (LAT) – horní mez pro posuzování (UAT) lower assessment threshold (LAT) – upper assessment threshold (UAT)
	horní mez pro posuzování (UAT) – imisní limit (LV) upper assessment threshold (UAT) – limit value (LV)
	> imisní limit (LV) > limit value (LV)

Obr. IV.1. Barevná škála v legendě plošných map znečišťujících látek pro rozdelení oblastí podle mezi pro posuzování a oblastí nad imisním limitem

Fig. IV.1 Colours scale in the legend of the areal maps of polluting substances for classification of areas by assessment thresholds and areas above the pollutin limit

imisního limitu PM_{10} zaznamenáno na 35 % stanic (50 stanic ze 143) se jedná o mírný pokles (obr. IV.1.13). Překročení povoleného počtu překročení hodnoty imisního limitu většinou nastalo během října až prosince.

Imisní limit pro průměrnou 24hodinovou koncentraci PM_{10} byl v roce 2018 překročen na 3,2 % území ČR s cca 13,8 % obyvatel (obr. IV.1.1).

V porovnání s rokem 2017 (8,3 %) došlo ke zmenšení plochy území ČR vystavené nadlimitní koncentraci PM_{10} (36. nejvyšší 24hod. koncentraci), nicméně v letech 2015 a 2016 byla situace podobná jako v roce 2018 (2,5 % a 1,4 % plochy území).

Meziroční snížení plochy s překročením 24hodinového limitu se projevilo zejména ve Zlínském, Olomouckém, Středočeském a Ústeckém kraji. Nejvíce zatíženou souvislou oblastí byla, stejně jako v předešlých letech (obr. IV.1.9 a IV.1.10), aglomerace O/K/F-M, ve které byl denní imisní limit PM_{10} v roce 2018 překročen na většině stanic. 24hodinový imisní limit PM_{10} však bývá překračován i v dalších zónách a aglomeracích. V roce 2018 byly nadlimitní koncentrace naměřeny v aglomeraci O/K/F-M, v Moravskoslezském kraji bez aglomerace O/K/F-M, dále v krajích Ústeckém, Středočeském, Zlínském, Olomouckém, Pardubickém a v aglomeracích Praha a Brno.

V aglomeracích Praha a Brno se překročení imisního limitu vyskytuje spíše na dopravních lokalitách, v aglomeraci O/K/F-M na průmyslových i pozadových lokalitách a v ostatních zónách také na pozadových stanicích (obr. IV.1.2 a IV.1.12).

Imisní limit pro průměrnou roční koncentraci PM_{10} byl v roce 2018 překročen na 2,1 % stanic, tj. na 2 z celkového počtu 146 stanic v ČR s dostatečným počtem dat pro hodnocení, a to na průmyslové lokalitě Ostrava-Radvanice ZÚ a Ostrava-Přívoz a na venkovské lokalitě Věřňovice (obr. IV.1.4; tab. XIII.2 a XIII.5). Všechny lokality se nachází v aglomeraci O/K/F-M. O rok dříve, v roce 2017, došlo k překročení ročního imisního limitu na dvou lokalitách ze 146.

V případě průměrné roční koncentrace PM_{10} došlo v roce 2018 k překročení imisního limitu na 0,1 % území ČR s cca 0,3 % obyvatel (obr. IV.1.3). V roce 2017 byl roční imisní limit překročen na 0,02 % území s 0,01 % obyvatel. V roce 2016 se pouze lokální překročení nepromítlo do mapy roční průměrné koncentrace v rozlišení měřítka, ve kterém je prezentována.

Koncentrace PM_{10} vykazují zřetelný roční chod s nejvyššími hodnotami v chladných měsících

It is a slight decrease compared to the year 2017 when exceeding of the daily PM_{10} limit value was recorded at 35% of stations (50 stations out of 143; Fig. IV.1.13). The excess of the permitted number of cases exceeding the pollution limit level occurred mostly between October and December.

The pollution limit level for the average 24-hour concentration of PM_{10} was exceeded in 2018 over 3.2% of the territory of the Czech Republic with approx. 13.8% of the population (Fig. IV.1.1). Compared to 2017 (8.3%), the area of the Czech Republic exposed to the above-limit PM_{10} concentration (the 36th highest 24-hour concentration) decreased, but in 2015 and 2016 the situation was similar to that in 2018 (2.5% and 1.4% of the area).

Inter-annual decrease of the territory where the 24-hour limit value was exceeded was apparent particularly in the Zlín, Olomouc, Central Bohemian and Ústí nad Labem region. The most exposed continuous area, as in previous years (Fig. IV.1.9 and IV.1.10), was the O/K/F-M agglomeration, where the daily pollution limit level for PM_{10} was exceeded at the majority of stations in 2018. However, the 24-hour pollution limit value for PM_{10} is being exceeded in other zones and agglomerations. In 2018, above-limit concentrations were measured in the O/K/F-M agglomeration, in the Moravian-Silesian region without the O/K/F-M agglomeration, as well as in the Ústí nad Labem, Central Bohemian, Zlín, Olomouc, and Pardubice regions and Prague and Brno agglomerations.

Exceeding of the pollution limit levels in Prague and Brno occurs mostly at traffic localities, in the O/K/F-M agglomeration at industrial and background localities and in other zones also at the background stations (Fig. IV.1.2 and IV.1.12).

The pollution limit level for the average annual concentration of PM_{10} was exceeded in 2018 at 2.1% of stations, i.e. at 2 of the total number of 146 stations in the Czech Republic with a sufficient amount of data for the evaluation, namely at the Ostrava-Radvanice ZÚ and Ostrava-Přívoz industrial locations and in the Věřňovice rural location (Fig. IV.1.4; Tab. XIII.2 and XIII.5). All the locations are situated in the O/K/F-M agglomeration. A year earlier, in 2017, the annual pollution limit level was exceeded at two localities out of 146.

In the case of the average annual PM_{10} concentration, in 2018, the limit value was exceeded in 0.1% of the territory of the Czech Republic with approximately 0.3% of the population (Fig. IV.1.3). In 2017,

roku (obr. IV.1.14). Vyšší koncentrace PM_{10} v ovzduší během chladného období roku souvisejí jak s vyššími hodnotami emisí částic ze sezonně provozovaných tepelných zdrojů, tak i se zhoršenými rozptylovými podmínkami. Např. lokální topeníště se na emisích PM_{10} resp. $PM_{2,5}$ v ČR podílejí více než 59 % resp. 74 % (obr. IV.1.20 a IV.1.22).

Roční chod koncentrací PM_{10} v roce 2018 měl typický průběh s jasnou dominancí podzimních a zimních měsíců, pro které je příznačný nejméně častý výskyt dobrých rozptylových podmínek. V roce 2018 byly nejvyšší až nadlimitní koncentrace PM_{10} naměřeny v měsících únor, březen a listopad, což koresponduje s výskytem mírně nepříznivých až nepříznivých podmínek v únoru a mírně nepříznivých podmínek v březnu a listopadu. Během měsíců února a března, které navíc byly teplotně podprůměrné v porovnání s normálem 1981–2010 (více viz kap. III), došlo k vyhlášení smogových situací a regulací z důvodu vysokých koncentrací suspendovaných částic (kap. III a VI).

Suspendované částice $PM_{2,5}$

Imisní limit pro průměrnou roční koncentraci $PM_{2,5}$ byl v roce 2018 překročen na 1,2 % území ČR s cca 6,1 % obyvatel (obr. IV.1.5) V roce 2017 se jednalo o 0,9 % plochy s 4,9 % obyvatel, v roce 2016 o 0,5 % plochy s 3 % obyvatel. Překročení imisního limitu bylo zaznamenáno na 13 stanicích (16 %) z celkového počtu 80 (tab. XIII.3; obr. IV.1.13), v roce 2017 na 10 stanicích (12,7 %) z celkového počtu 79 a v roce 2016 na 10 stanicích (12,3 %) z 81. Všechny stanice, u nichž došlo v roce 2018 k překročení ročního imisního limitu, leží na území Moravskoslezského kraje převážně v aglomeraci O/K/F-M (obr. IV.1.6 a IV.1.11).

Vyšší hodnoty koncentrací $PM_{2,5}$ se vyskytují zejména v chladném období roku (obr. IV.1.15) a jsou, podobně jako u PM_{10} , důsledkem emisí z vytápění a zhoršených rozptylových podmínek. Měsíční koncentrace $PM_{2,5}$ vykazují chod velice podobný ročnímu chodu PM_{10} .

V roce 2020 vstoupí v platnost nový imisní limit pro roční průměrnou koncentraci $PM_{2,5}$. Vyhodnocení situace vzhledem k budoucímu imisnímu limitu ($20 \mu\text{g}\cdot\text{m}^{-3}$) na základě koncentrací naměřených v roce 2018 lze nalézt v Příloze II.

Suspendované částice PM_1

Jemná frakce částic PM_1 byla v roce 2018 měřena na 23 lokalitách, z toho 9 lokalit mělo dostatečný

the annual limit value was exceeded in 0.02% of the territory with 0.01% of the population. In 2016, local above-limit value was the only not reflected in the map of annual average concentration in the scale in which it is presented.

The PM_{10} concentrations exhibit a clear annual variation with the highest values in the colder months of the year (Fig. IV.1.14). Higher PM_{10} concentrations in the air during the colder season are related both to greater emissions of particulates from the seasonally operated heating sources and also to deteriorated dispersion conditions. For example, local heating sources contribute more than 59% to PM_{10} emissions and 74% to $PM_{2,5}$ emissions in the Czech Republic (Fig. IV.1.20 and IV.1.22).

The annual variation of PM_{10} concentrations in 2018 demonstrated a typical shape with a clear dominance of autumn and winter months characterized by the least frequent occurrence of good dispersion conditions. In 2018, the highest or above-limit concentrations of PM_{10} were measured in February, March and November which corresponds to the occurrence of slightly to quite unfavourable conditions in February and slightly unfavourable conditions in March and November. During the months of February and March, which were also below-average in terms of temperature compared to the normal of 1981–2010 (for details see Chap. III), smog situations and regulations were announced due to high concentrations of suspended particles (Chap. III and VI).

Suspended particulate matter $PM_{2,5}$

The pollution limit level for the average annual concentration of $PM_{2,5}$ was exceeded, in 2018, over 1.2% of the territory of the Czech Republic with approx. 6.1% of the population (Fig. IV.1.5). In 2017, it concerned 0.9% of the area with 4.9% of the population, in 2016, the indicators were 0.5% of the area with 3% of the population. Exceeding of the pollution limit level was recorded at 13 (16%) of a total of 80 stations (Tab. XIII.3; Fig. IV.1.13). In 2017, the values were 10 stations (12.7%) out of a total of 79 stations and in 2016 at 10 stations (12.3%) out of 81. All the stations with the annual pollution limit exceeded in 2018 are located in the territory of the Moravian-Silesian region, mostly in the O/K/F-M agglomeration (Fig. IV.1.6 and IV.1.11).

Higher concentrations of $PM_{2,5}$ occur mainly in the colder part of the year (Fig. IV.1.15) and, similar to PM_{10} , are a consequence of emissions from heating

počet dat pro hodnocení. Jedná se o dvě stanice v Plzni a po jedné stanici v okrese Brno-město, v okrese Brno-venkov, v aglomeraci O/K/F-M, v okrese Zlín, v aglomeraci Praha a v okresech Ústí nad Labem a Litoměřice (tab. XIII.4). Nejvyšší roční koncentrace ($24,2 \mu\text{g.m}^{-3}$) i maximální denní koncentrace ($187,6 \mu\text{g.m}^{-3}$) byla naměřena na předměstské lokalitě Třinec-Kanada.

Poměr suspendovaných částic frakce $\text{PM}_{2,5}$ a PM_{10}

Poměr frakcí $\text{PM}_{2,5}$ a PM_{10} není konstantní, vykazuje sezonní průběh a je zároveň závislý na charakteru lokality (obr. IV.1.16). V roce 2018 se tento poměr pohyboval v průměru z 64 lokalit v ČR, kde se současně měří $\text{PM}_{2,5}$ a PM_{10} a lokality mají dostatečný počet měření pro toto hodnocení, v rozmezí 0,65 (červenec a srpen) až 0,88 (únor) s nižšími hodnotami v letním období. V Praze, kde je roční chod ovlivněn vysokým podílem dopravních lokalit, byl tento poměr v rozmezí 0,60 (květen) až 0,83 (listopad), v Brně 0,69 (srpen) až 0,92 (únor), v Moravskoslezském kraji 0,65 (duben, květen a červenec) až 0,91 (únor) a v Ústeckém kraji 0,61 (srpen) až 0,83 (březen).

Při porovnání poměru frakcí $\text{PM}_{2,5}$ a PM_{10} podle klasifikace lokalit je na venkovských lokalitách poměr v rozmezí 0,63 (červenec) až 0,86 (únor), na městských 0,67 (červenec) až 0,89 (únor), na předměstských 0,66 (duben) až 0,89 (únor), na dopravních lokalitách je poměr v rozmezí 0,62 (srpen) až 0,82 (únor) a na průmyslových 0,65 (červenec) až 0,91 (únor).

Roční chod poměru frakcí $\text{PM}_{2,5}$ a PM_{10} souvisí se sezonním charakterem některých emisních zdrojů. Emise ze spalovacích zdrojů vykazují vyšší zastoupení frakce $\text{PM}_{2,5}$ než např. emise ze zemědělské činnosti a resuspenze při suchém a větrném počasí. Vytápění v zimním období může být tedy důvodem vyššího podílu frakce $\text{PM}_{2,5}$ ve frakci PM_{10} . Pokles během jarního období a začátku léta je v některých studiích vysvětlován také nárůstem množství větších biogenních částic, např. pylu (Gehrig, Buchmann 2003).

Na dopravních lokalitách je poměr $\text{PM}_{2,5}$ vůči PM_{10} nejnižší (obr. IV.1.16). Při spalování paliv v dopravě se emitované částice nalézají především ve frakci $\text{PM}_{2,5}$, a poměr by měl tudíž být u dopravních lokalit vysoký. To, že tomu tak není, zdůrazňuje význam emisí větších částic z otěru pneumatik, brzdového obložení a ze silnic. Zastoupení hrubé frakce na dopravních stanicích narůstá i v důsledku resuspenze částic ze zimního

sources and of unfavourable dispersion conditions. Monthly $\text{PM}_{2,5}$ concentrations show a variation very similar to the annual variation of PM_{10} .

A new pollution limit value for the annual average $\text{PM}_{2,5}$ concentration will come into force in 2020. An evaluation of the situation with respect to the future limit value ($20 \mu\text{g.m}^{-3}$) based on the concentrations measured in 2018 can be found in Annex II.

Suspended particulate matter PM_1

The fine particulate PM_1 fraction was measured at 23 locations in 2018, of which 9 locations possessed a sufficient amount of data for the evaluation. These included two stations in Plzeň and one station in each the Brno-město and Brno-venkov districts, the O/K/F-M agglomeration, the Zlín district, the Prague agglomeration, and the Ústí nad Labem and Litoměřice districts (Tab. XIII.4). The highest annual concentration ($24.2 \mu\text{g.m}^{-3}$) and the maximum daily concentration ($187.6 \mu\text{g.m}^{-3}$) were measured in the Třinec-Canada suburban locality.

Ratio of the $\text{PM}_{2,5}$ and PM_{10} suspended particle fractions

The ratio of the $\text{PM}_{2,5}$ and PM_{10} fractions is not constant but exhibits seasonal variations and is also dependent on the character of the location (Fig. IV.1.16). In 2018, this ratio varied on an average from measurements at 64 locations in the Czech Republic, where $\text{PM}_{2,5}$ and PM_{10} are measured and, simultaneously, the locations have a sufficient number of measurements for the evaluation, in the range from 0.65 (July and August) to 0.88 (February) with lower values in summer. In Prague, where the annual variations are affected by the high fraction of traffic locations, this ratio was in the range from 0.60 (May) to 0.83 (November), in Brno from 0.69 (August) to 0.92 (February), in the Moravian-Silesian region from 0.65 (April, May, and July) to 0.91 (February) and in the Ústí nad Labem region from 0.61 (August) to 0.83 (March).

When the ratio of $\text{PM}_{2,5}$ and PM_{10} fractions is compared by a type of location, the ratio at rural locations ranges from 0.63 (July) to 0.86 (February), at urban from 0.67 (July) to 0.89 (February), at suburban from 0.66 (April) to 0.89 (February), at traffic locations from 0.62 (August) to 0.82 (February), and at industrial locations from 0.65 (July) to 0.91 (February).

The annual variation in the ratio of the $\text{PM}_{2,5}$ and PM_{10} fractions is related to a seasonal character of certain emission sources. Emissions from combus-

posypu. K navýšení koncentrace PM_{10} může dojít i v důsledku zvýšené abraze silničního povrchu posypem a následnou resuspenzí obroušeného materiálu (EC 2011). Naproti tomu vyšší poměr frakcí $PM_{2,5}$ a PM_{10} v důsledku emisí ze spalovacích procesů je pozorován na průmyslových stanicích.

IV.1.2 Vývoj koncentrací suspendovaných částic PM_{10} a $PM_{2,5}$

V roce 2008 byly nižší koncentrace částic pravděpodobně dány i výraznějším poklesem emisí některých prekurzorů částic při přechodném útlumu některých hospodářských odvětví v důsledku ekonomické krize. Následný vzestup koncentrací suspendovaných částic v roce 2010 byl zapříčiněn zejména opakováním výskytem nepříznivých meteorologických a rozptylových podmínek v zimním období a nejchladnější topnou sezonou od roku 1996 (obr. III.1). V období 2011–2016 je u většiny imisních charakteristik pozorován pokles koncentrací (obr. IV.1.17–19). Pokles koncentrací PM_{10} se projevil na lokalitách všech kategorií (obr. IV.1.17). V roce 2017 došlo k mírnému nárůstu koncentrací, a to převážně z důvodu nepříznivých rozptylových podmínek z počátku roku. V roce 2018 nárůst koncentrací pokračoval s výjimkou nevýrazného poklesu 36. nejvyšší koncentrace PM_{10} na dopravních a městských lokalitách. Nicméně celorepublikový průměr 36. nejvyšší 24hod. koncentrace PM_{10} v roce 2018 ($49,2 \mu\text{g}\cdot\text{m}^{-3}$) a roční průměrné koncentrace PM_{10} a $PM_{2,5}$ v roce 2018 ($28,1 \mu\text{g}\cdot\text{m}^{-3}$ a $21,8 \mu\text{g}\cdot\text{m}^{-3}$) se výrazně nelíší od průměrů za předešlé desetileté období 2008–2017 ($51 \mu\text{g}\cdot\text{m}^{-3}$, $28,5 \mu\text{g}\cdot\text{m}^{-3}$ a $21,3 \mu\text{g}\cdot\text{m}^{-3}$).

Roční průměrné koncentrace PM_{10} dlouhodobě zůstávají pod hodnotou imisního limitu, naopak roční průměrné koncentrace $PM_{2,5}$ a nejvyšší 36. denní koncentrace PM_{10} kolísají kolem hodnoty imisního limitu (ve všech případech zprůměrováno pro všechny typy lokalit a celou ČR; obr. IV.1.18 a IV.1.19).

IV.1.3 Emise PM_{10} a $PM_{2,5}$

Při spalování paliv a při dalších průmyslových činnostech vznikají aerosoly, které mohou být pevné, kapalné nebo směsné. Souhrnně se tyto aerosoly v české legislativě označují jako tuhé znečišťující látky (TZL), v zahraniční literatuře pak jako Total Suspended Particulates (TSP). Emise TZL mají různé velikostní a chemické složení

tion sources exhibit a greater content of the $PM_{2,5}$ fraction than, e.g., emissions from agricultural activities and resuspension during dry and windy weather. Heating in winter can thus lead to a greater content of the $PM_{2,5}$ fraction in the PM_{10} fraction. The decrease during the spring and beginning of the summer is explained by some studies also as being a result in the amount of larger biogenic particulates, e.g. pollen (Gehrig, Buchmann 2003).

The $PM_{2,5}$ to PM_{10} ratio is the smallest at traffic locations (Fig. IV.1.16). In combustion of fuel in traffic, the particulates belong mainly to the $PM_{2,5}$ fraction and the ratio should therefore be high at traffic locations. The fact that this is not the case emphasises the importance of emissions of the largest particulates from abrasion of tyres, brake linings and roads. The content of the larger fraction at traffic stations also increases as a consequence of resuspension of particulates from winter grit scattering. An increase in the PM_{10} concentration can also occur as a result of greater abrasion of the road surface by grit and subsequent resuspension of the abraded material (EC 2011). On the contrary, the higher ratio of $PM_{2,5}$ and PM_{10} fractions resulting from emissions from combustion processes is observed at industrial stations.

IV.1.2 Trends in the concentrations of suspended particulates PM_{10} and $PM_{2,5}$

In 2008, lower concentrations of particulates were probably a result of the substantial reduction in emissions of some precursors during temporarily reduced operations in some branches of the economy as a consequence of the economic crisis. The subsequent increase in the concentrations of suspended particulates in 2010 was caused especially by the occurrence of unfavourable meteorological conditions in winter and the coldest heating season since 1996 (Fig. III.1). In the period 2011–2016, the majority of air pollution characteristics showed a decrease in concentrations (Fig. IV.1.17–19). A decrease in the PM_{10} concentrations was manifested at locations in all the categories (Fig. IV.1.17). A slight increase of concentrations occurred in 2017 mainly due to unfavourable dispersion conditions at the beginning of the year. In 2018, the increase in concentrations continued, except for a slight decrease of the 36th highest PM_{10} concentration in traffic and urban localities. However, the nationwide average of the 36th highest 24-hour PM_{10} concentrations in 2018 ($49.2 \mu\text{g}\cdot\text{m}^{-3}$) and annual average PM_{10} and $PM_{2,5}$ concentrations in 2018 ($28.1 \mu\text{g}\cdot\text{m}^{-3}$ and $21.8 \mu\text{g}\cdot\text{m}^{-3}$) do not differ

podle charakteru zdroje a způsobu vzniku. Mohou obsahovat těžké kovy a představují nosné médium pro VOC a PAH. Nejčastěji se při inventarizaci emisí v návaznosti na imisní limity rozlišuje velikostní frakce PM₁₀ a PM_{2,5}.

Emisní inventury PM₁₀ a PM_{2,5} prováděné podle současných metodik zahrnují pouze primární emise těchto látek. Na koncentracích PM₁₀ a PM_{2,5} měřených v ovzduší se přitom významně podílí sekundární aerosolové částice vznikající přímo v ovzduší z plynných prekurzorů fyzikálně-chemickými reakcemi. Podíl sekundárních anorganických aerosolů na celkové koncentraci PM_{2,5} se může v městském prostředí pohybovat mezi 20 a 40 % (Vlček, Corbet 2011). Příspěvek sekundárních organických aerosolů biogenního původu může v evropských podmínkách činit 2–4 µg.m⁻³ (Fuzzi et al. 2015).

Ve srovnání s emisemi jiných znečišťujících látek jsou emise částic vnášeny do ovzduší z velkého počtu významnějších skupin zdrojů. Kromě zdrojů, ze kterých jsou tyto látky vypouštěny řízeně komínem nebo výduchy (průmyslové zdroje, lokální topeníště, doprava), pochází významné množství emisí PM ze zdrojů fugitivních (kamenolomy, skládky prašných materiálů, operace s prašnými materiály apod.). Zahrnutý jsou rovněž emise z otěru pneumatik, brzdového obložení a abraze vozovek vypočítávané z dopravních výkonů. Kvalitu ovzduší ovlivňuje rovněž resuspenze částic (znovuzvýření), která do standardně prováděných emisních inventur není zahrnuta. Mezi hlavní zdroje emisí částic v roce 2017 patřil sektor 1A4bi – Lokální vytápění domácností, který se podílel na znečištěování ovzduší v celorepublikovém měřítku látkami PM₁₀ 59,1 % a PM_{2,5} 74,3 %. Mezi další významné zdroje emisí PM₁₀ patřil sektor 3Dc – Polní práce, kde tyto emise vznikají při obdělávání půdy, sklizni a čištění zemědělských ploidin. Tento sektor představoval 8,7 % emisí PM₁₀. Z hlediska účinku na lidské zdraví jsou velkým rizikem emise částic pocházející z dopravy, především ze spalování paliv ve vznětových motorech, které produkují částice o velikosti jednotek až stovek nanometrů (Vojtíšek 2010). Doprava se na emisích PM₁₀ podílela 10,7 % a na emisích PM_{2,5} 10,3 % (obr. IV.1.20 a obr. IV.1.22).

Spotřebu pevných paliv v domácnostech v období 2008–2017 lze charakterizovat rostoucím trendem, souvisejícím pravděpodobně s ekonomickou situací, který se ustálil až po roce 2013. Proti tomuto vlivu působila přirozená obnova

significantly from averages for the previous ten-year period 2008–2017 (51 µg.m⁻³, 28.5 µg.m⁻³ and 21.3 µg.m⁻³).

The average annual concentrations of PM₁₀ have long remained below the pollution limit value, while the annual average PM_{2,5} concentration and the highest 36th daily concentration of PM₁₀ vary around the pollution limit level value (in all cases averaged for all types of locations and all the Czech Republic; Fig. IV.1.18 and IV.1.19).

IV.1.3 Emissions of PM₁₀ and PM_{2,5}

Aerosols originating from fuel combustion and other industrial activities can exist in a form of solid, liquid or mixed suspended matter. In their complexity, these aerosols are denoted as solid pollutants (SP) in the Czech legislation and as Total Suspended Particulates (TSP) in foreign literature. SP emissions have varying size and chemical composition resulting from the characteristics of the source and the mode of formation. They can contain heavy metals and act as a carrier medium for VOC and PAH. PM₁₀ and PM_{2,5} size fractions are most frequently distinguished in emission inventories in relation to pollution limit levels.

Emission inventories of PM₁₀ and PM_{2,5} prepared according to current regulations include only the primary emissions of these substances. Simultaneously, a considerable contribution to concentrations of PM₁₀ and PM_{2,5} measured in the air comes from secondary suspended particulates formed directly in the air from gaseous precursors by physical-chemical reactions. The fraction of secondary suspended inorganic particulates in total PM_{2,5} concentrations in urban environments can vary between 20 and 40% (Vlček, Corbet 2011). The contribution of secondary suspended organic particulates of biogenic origin under European conditions can equal 2–4 µg.m⁻³ (Fuzzi et al. 2015).

Compared to emissions of other pollutants, particulate matter emissions in the air originate from a great many significant groups of sources. In addition to sources from which these substances are emitted through controlled chimneys or stacks (industrial sources, local heating units, transport), significant amounts of PM emissions originate from fugitive sources (quarries, dusty material dumps, operations involving dusty materials, etc.). Emissions from abrasion of tyres, brake linings and abrasion of roads calculated from traffic levels are also included. The quality of the air is also affected by resuspension of particles (stirring-up), which is not included in the

vozového parku, snížení zemědělské produkce a aplikace nejlepších dostupných technik pro snížování emisí TZL (tkaninové filtry) v energetice a průmyslu. Celkové emise PM_{10} a $PM_{2,5}$ v období 2008–2017 mají klesající trend (obr. IV.1.21 a obr. IV.1.23).

V jednotlivých oblastech ČR se podíl sektorů na celkových emisích liší podle konkrétní skladby zdrojů v dané oblasti. Vzhledem k tomu, že hlavní zdroj emisí PM_{10} a $PM_{2,5}$ představuje lokální vytápění, je i produkce emisí těchto látek rozložena po celém území ČR s obytnou zástavbou (obr. IV.1.24 a obr. IV.1.25). V území ČR rozděleném do čtverců 5×5 km emisně vynikají lokality, ve kterých jsou provozovány významné energetické zdroje spalující pevná fosilní paliva (Ústecký kraj) a velké průmyslové komplexy (Moravskoslezský kraj). Podíl emisí z dopravy je vyšší především ve velkých městech.

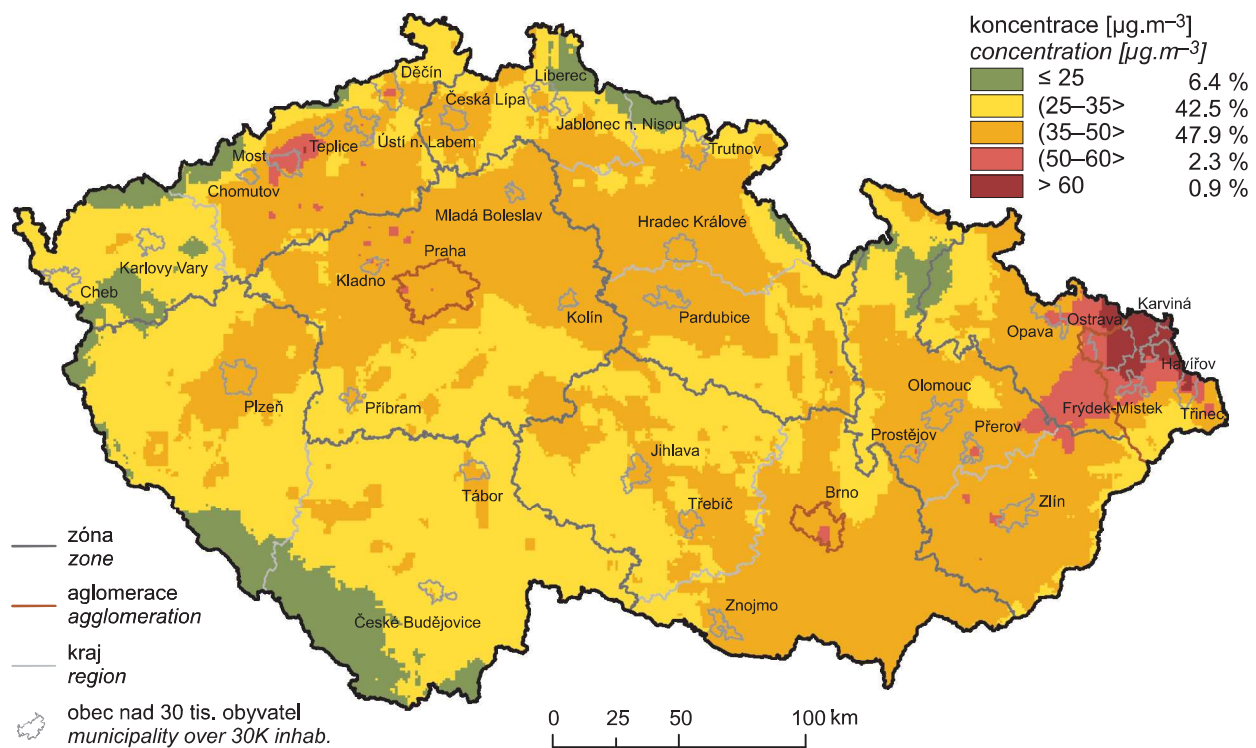
standard emission inventories. The main sources of particulate matter emissions in 2017 included 1A4bi sector — Residential: Stationary, which contributed to air pollution on a country-wide scale with 59.1% PM_{10} substances and 74.3% $PM_{2,5}$ substances. Further important sources of PM_{10} emissions included the 3Dc sector — Farm-level agricultural operations including storage, handling and transport of agricultural products where these emissions are formed during tillage of the soil, harvesting and cleaning agricultural crops. This sector represented 8.7% of PM_{10} emissions. A substantial risk to human health is caused by particulates coming from transport, especially from fuel combustion in diesel engines which produce particles with a size of units to hundreds of nanometres (Vojtíšek 2010). Transport contributed 10.6% to PM_{10} emissions and 10.0% to $PM_{2,5}$ emissions (Fig. IV.1.20 and Fig. IV.1.22).

Consumption of solid fuels by households in the 2008–2017 period can be characterised by an increasing trend stabilised just after 2013 related probably to economic conditions. Against this influence natural renewal of the vehicle fleet, reduction of agricultural production and application of the best available technology (textile filters) for reducing SP acted towards the reduction in emissions in the energy and industry sector. The total PM_{10} and $PM_{2,5}$ emissions in the 2008–2017 period exhibit decreasing trend (Fig. IV.1.21 and Fig. IV.1.23).

In individual regions of the Czech Republic, the contribution by sectors varies depending on the composition of sources in a given area. As the main source of PM_{10} and $PM_{2,5}$ emissions is represented by local heating, the production of these substances is also distributed throughout the territory of the Czech Republic with residential buildings (Fig. IV.1.24 and Fig. IV.1.25). When the territory of the Czech Republic is divided into 5×5 km grid, areas with higher emissions correspond to sites where important energy sources burning solid fossil fuels (the Ústí nad Labem region) and large industrial complexes (the Moravian-Silesian region) are located. The fraction of emissions from transport is greater primarily in large cities.

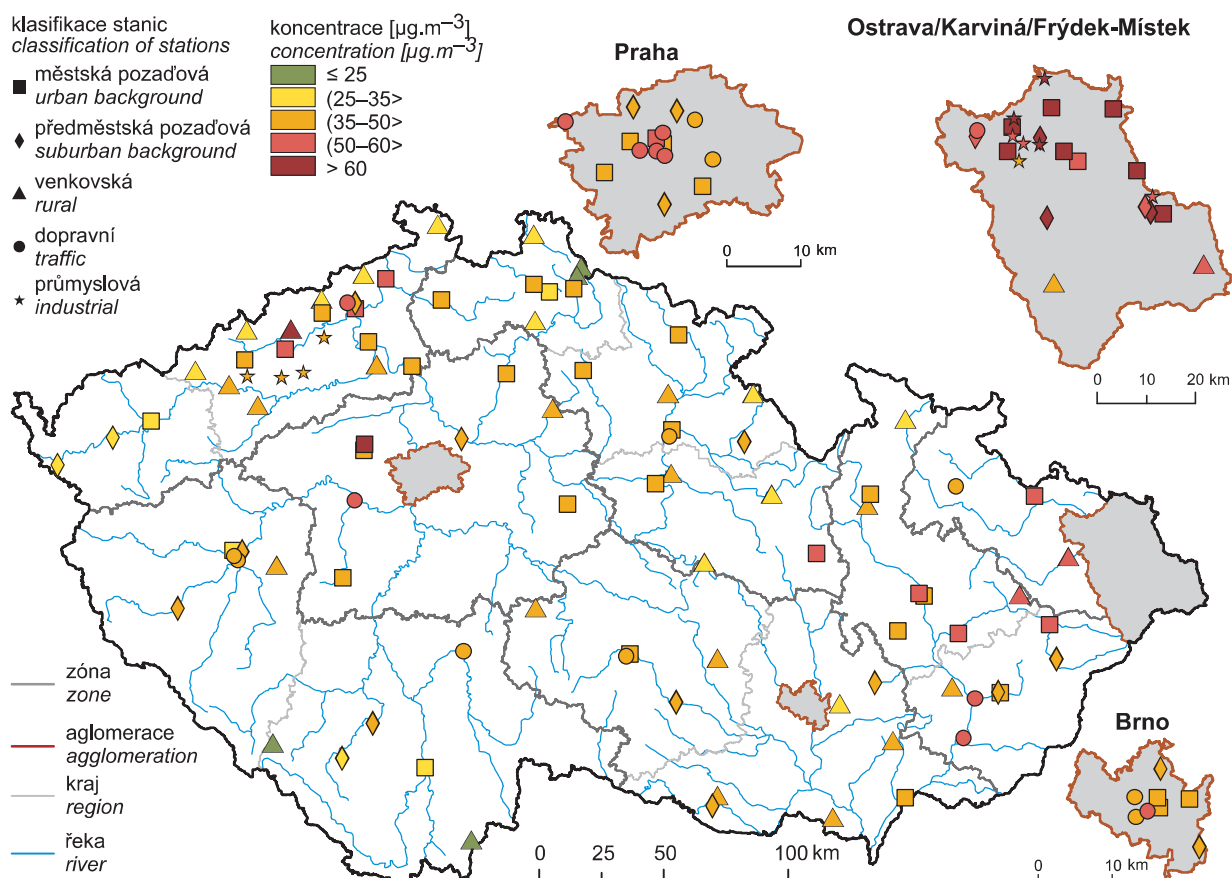
IV.1 KVALITA OVZDUŠÍ V ČESKÉ REPUBLICE – SUSPENDOVANÉ ČÁSTICE

IV.1 AIR QUALITY IN THE CZECH REPUBLIC – SUSPENDED PARTICULATE MATTER



Obr. IV.1.1 Pole 36. nejvyšší 24hod. koncentrace PM_{10} , 2018

Fig. IV.1.1 Field of the 36th highest 24-hour concentration of PM_{10} , 2018

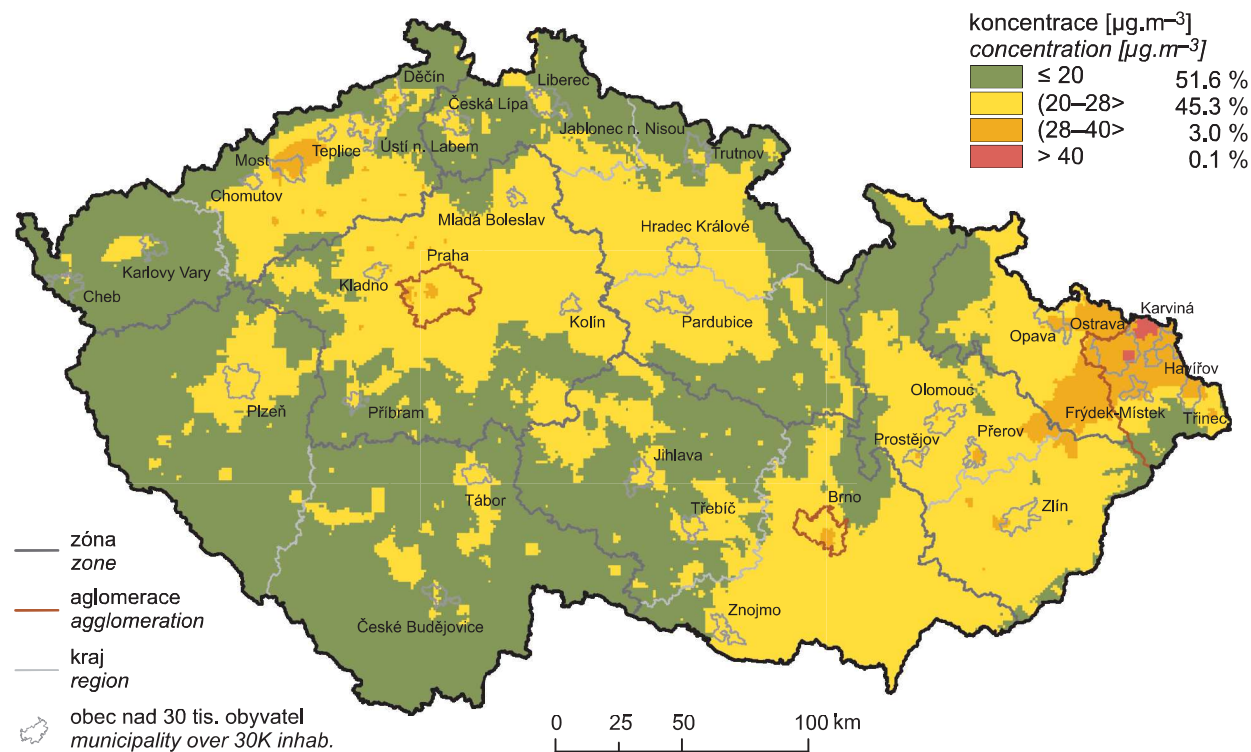


Obr. IV.1.2 36. nejvyšší 24 hod. koncentrace PM_{10} měřené na stanicích imisního monitoringu, 2018

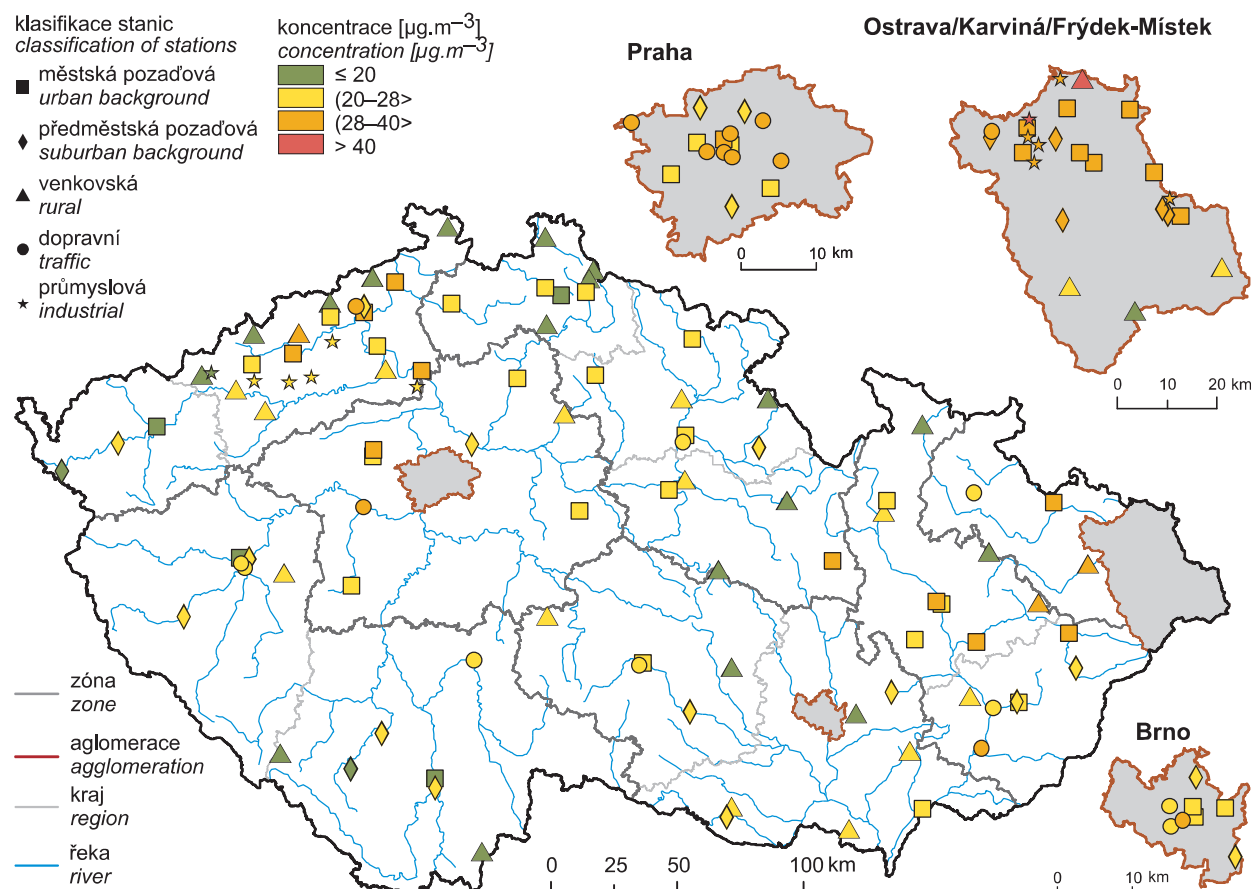
Fig. IV.1.2 36th highest concentrations of PM_{10} in the ambient air quality network, 2018

IV.1 KVALITA OVZDUŠÍ V ČESKÉ REPUBLICE – SUSPENDOVANÉ ČÁSTICE

IV.1 AIR QUALITY IN THE CZECH REPUBLIC – SUSPENDED PARTICULATE MATTER



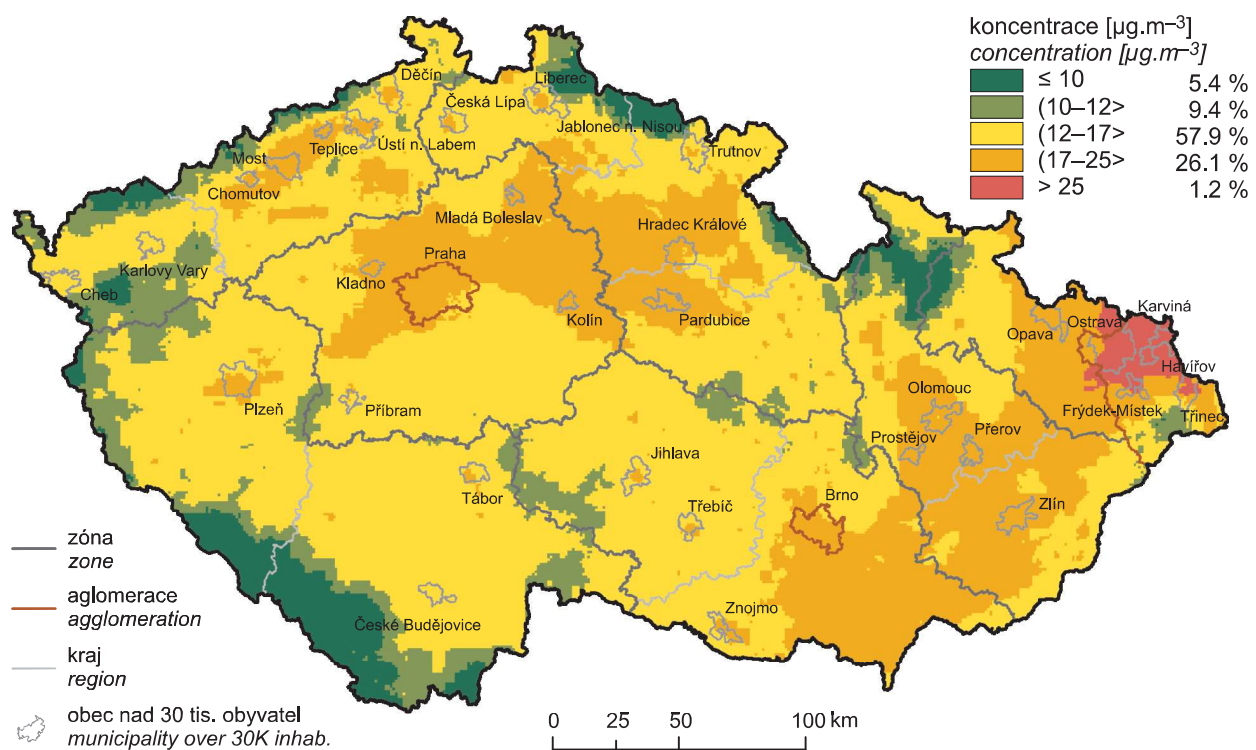
Obr. IV.1.3 Pole roční průměrné koncentrace PM_{10} , 2018
Fig. IV.1.3 Field of annual average concentration of PM_{10} , 2018



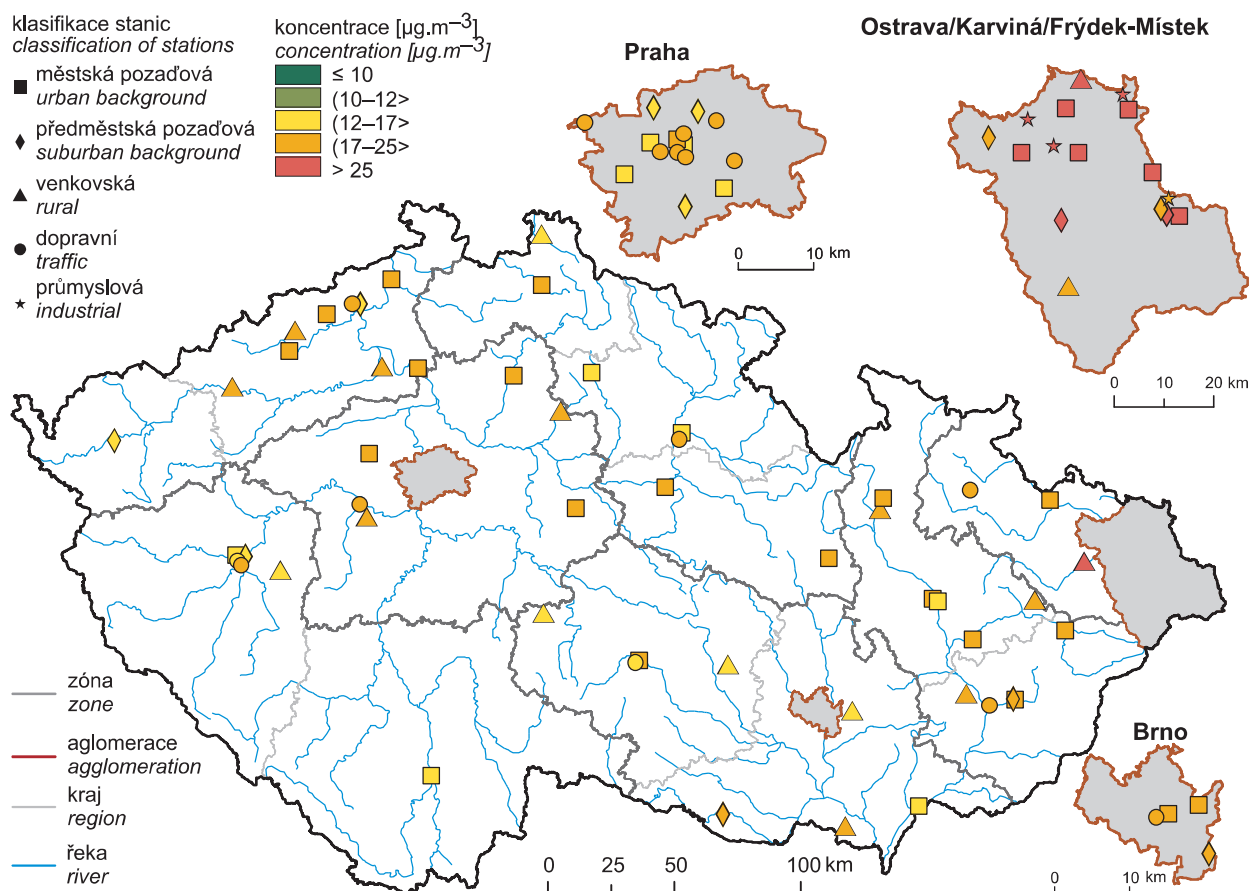
Obr. IV.1.4 Roční průměrné koncentrace PM_{10} měřené na stanicích imisního monitoringu, 2018
Fig. IV.1.4 Annual average concentrations of PM_{10} in the ambient air quality network, 2018

IV.1 KVALITA OVZDUŠÍ V ČESKÉ REPUBLICE – SUSPENDOVANÉ ČÁSTICE

IV.1 AIR QUALITY IN THE CZECH REPUBLIC – SUSPENDED PARTICULATE MATTER



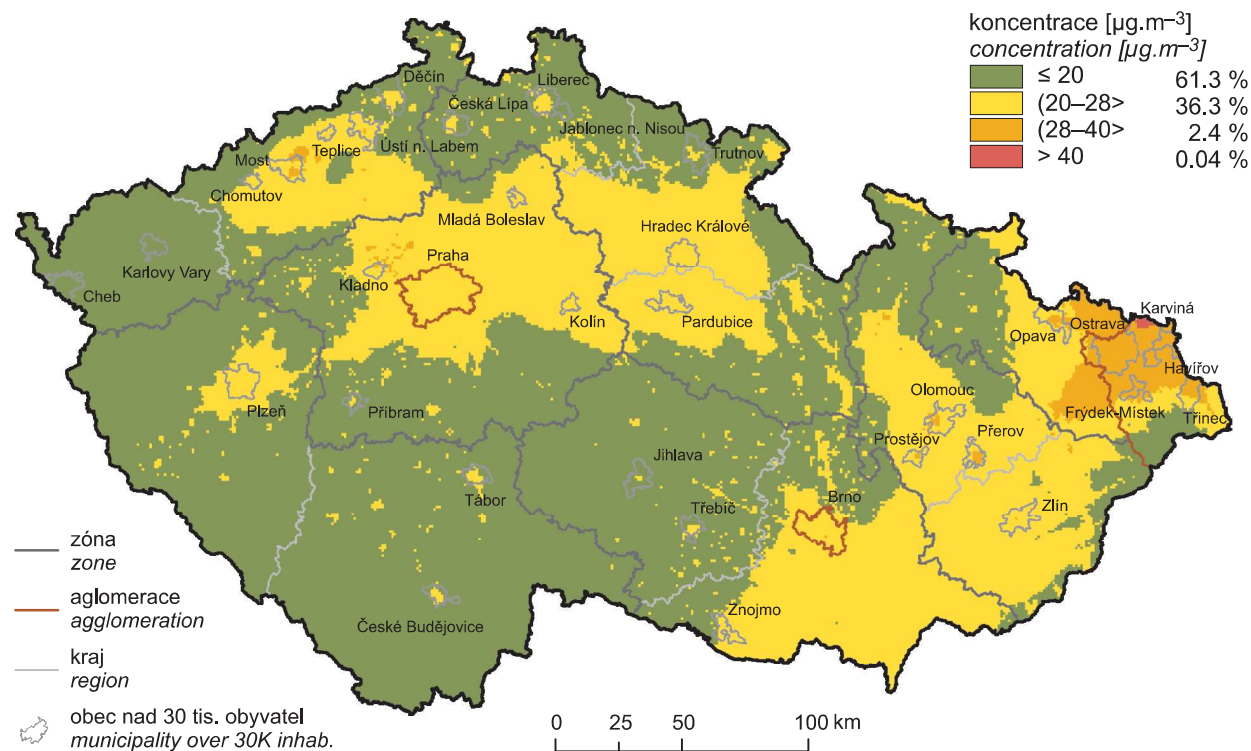
Obr. IV.1.5 Pole roční průměrné koncentrace $\text{PM}_{2.5}$, 2018
Fig. IV.1.5 Field of annual average concentration of $\text{PM}_{2.5}$, 2018



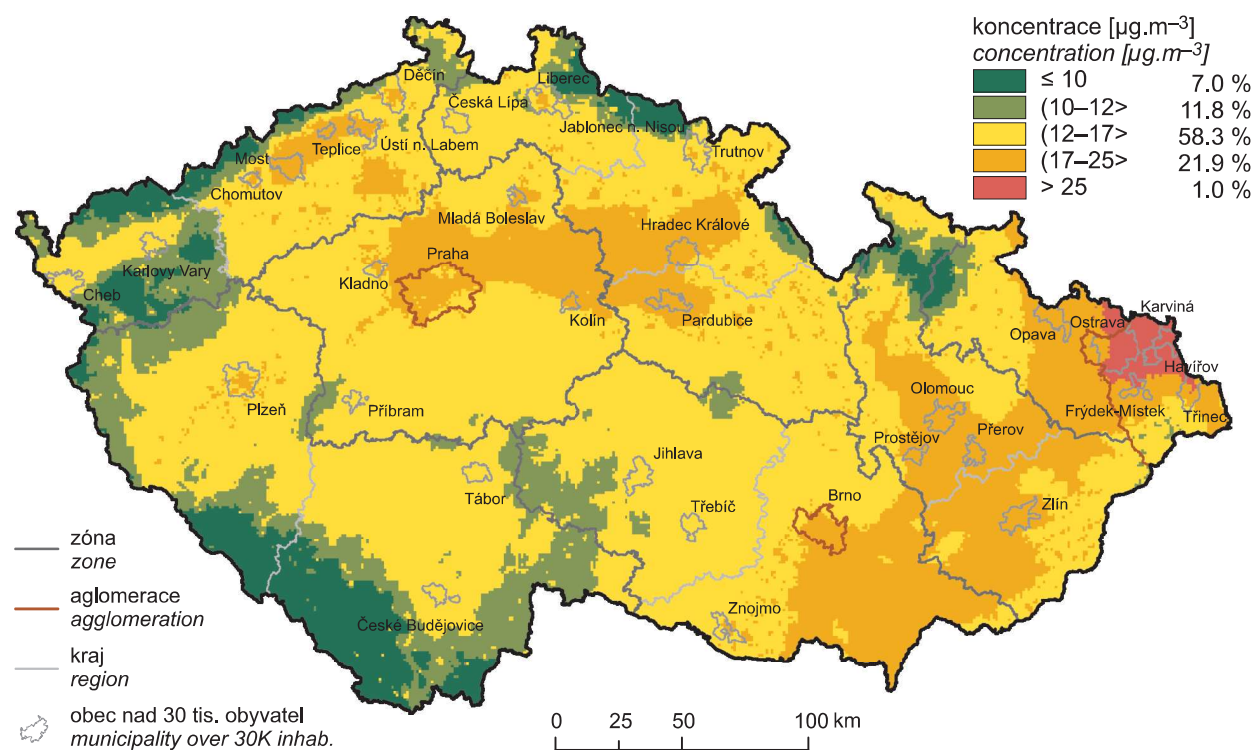
Obr. IV.1.6 Roční průměrné koncentrace $\text{PM}_{2.5}$ měřené na stanicích imisního monitoringu, 2018
Fig. IV.1.6 Annual average concentrations of $\text{PM}_{2.5}$ in the ambient air quality network, 2018

IV.1 KVALITA OVZDUŠÍ V ČESKÉ REPUBLICE – SUSPENDOVANÉ ČÁSTICE

IV.1 AIR QUALITY IN THE CZECH REPUBLIC – SUSPENDED PARTICULATE MATTER



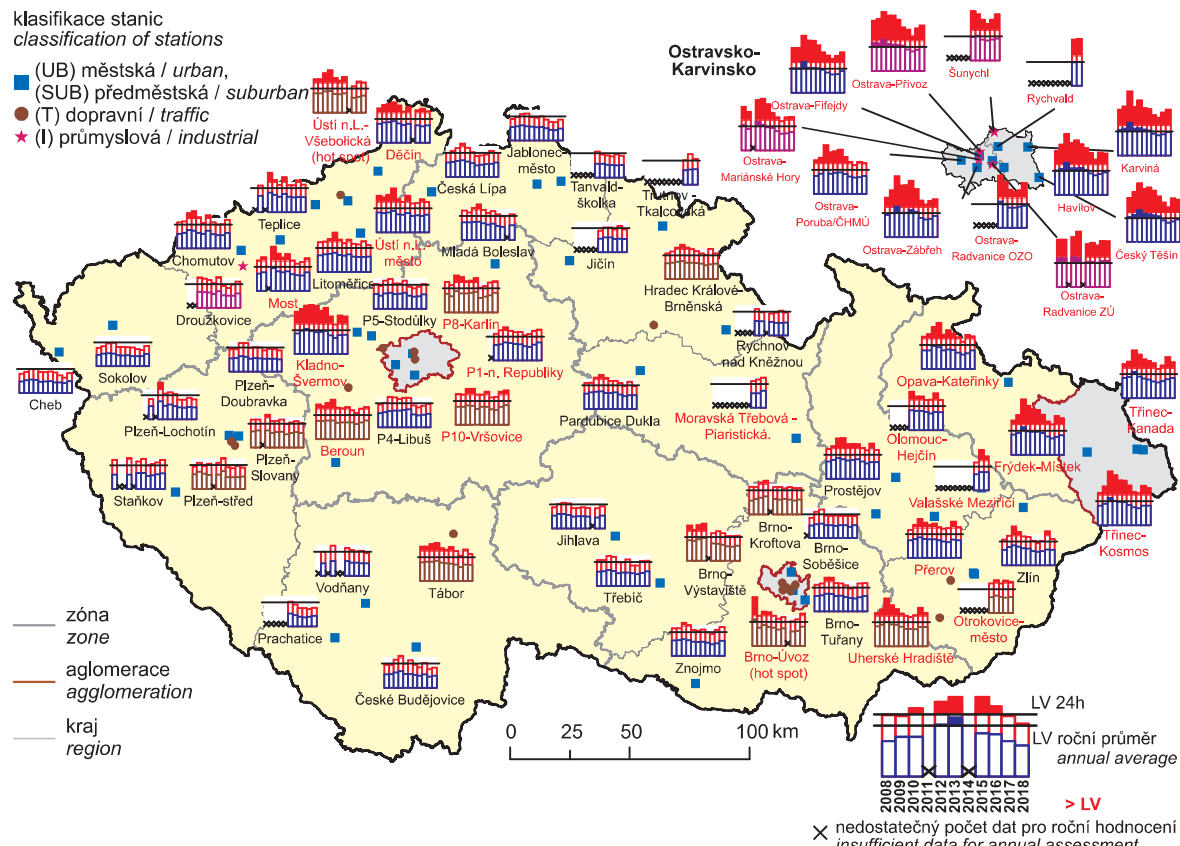
Obr. IV.1.7 Pětiletý průměr ročních průměrných koncentrací PM₁₀, 2014–2018
Fig. IV.1.7 Five-year average of annual average concentrations of PM₁₀, 2014–2018



Obr. IV.1.8 Pětiletý průměr ročních průměrných koncentrací PM_{2.5}, 2014–2018
Fig. IV.1.8 Five-year average of annual average concentrations of PM_{2.5}, 2014–2018

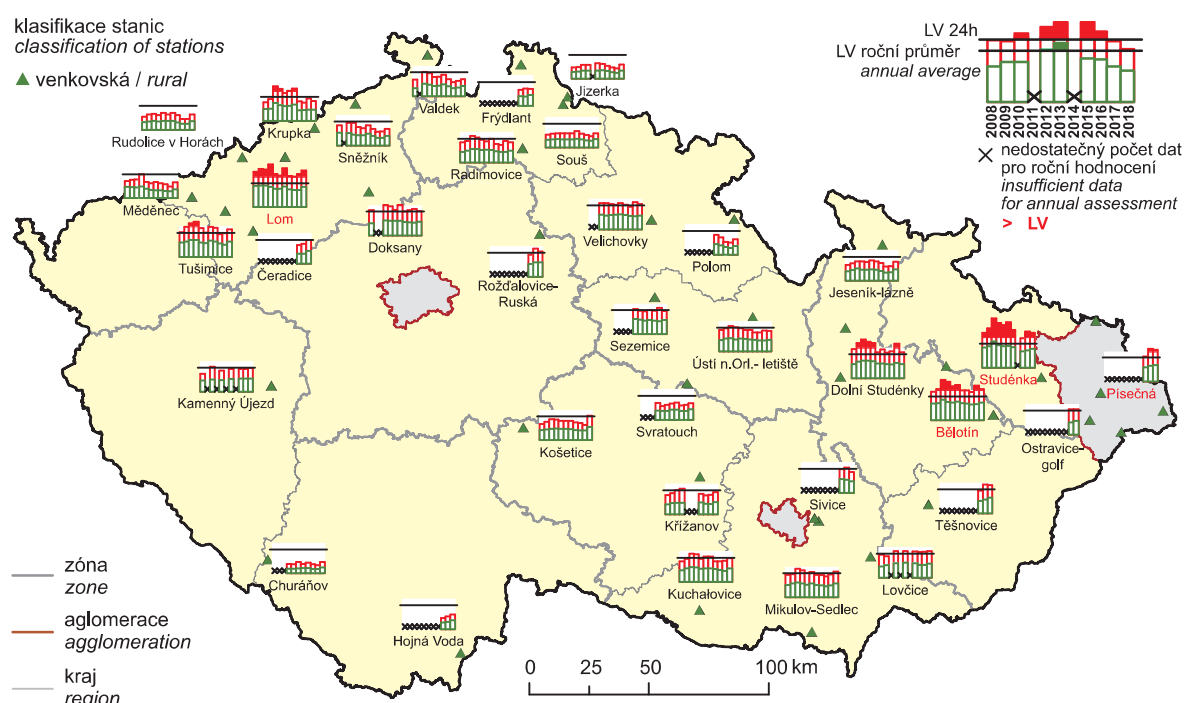
IV.1 KVALITA OVZDUŠÍ V ČESKÉ REPUBLICE – SUSPENDOVANÉ ČÁSTICE

IV.1 AIR QUALITY IN THE CZECH REPUBLIC – SUSPENDED PARTICULATE MATTER



Obr. IV.1.9 36. nejvyšší 24hod. koncentrace a roční průměrné koncentrace PM₁₀ na vybraných stanicích s klasifikací UB, SUB, T a I, 2008–2018

Fig. IV.1.9 36th highest 24-hour concentrations and annual average concentrations of PM₁₀ at selected stations with UB, SUB, T and I classification, 2008–2018

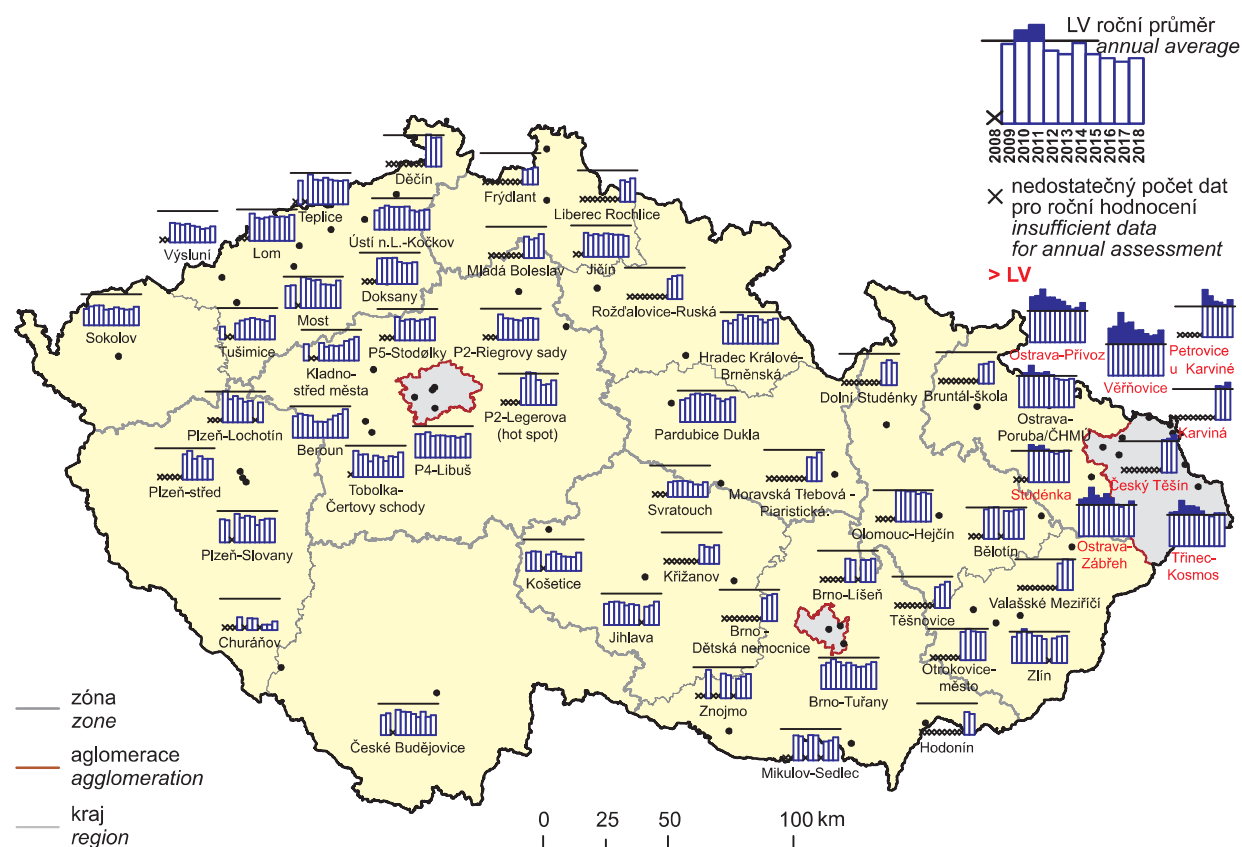


Obr. IV.1.10 36. nejvyšší 24hod. koncentrace a roční průměrné koncentrace PM₁₀ na vybraných venkovských (R) stanicích, 2008–2018

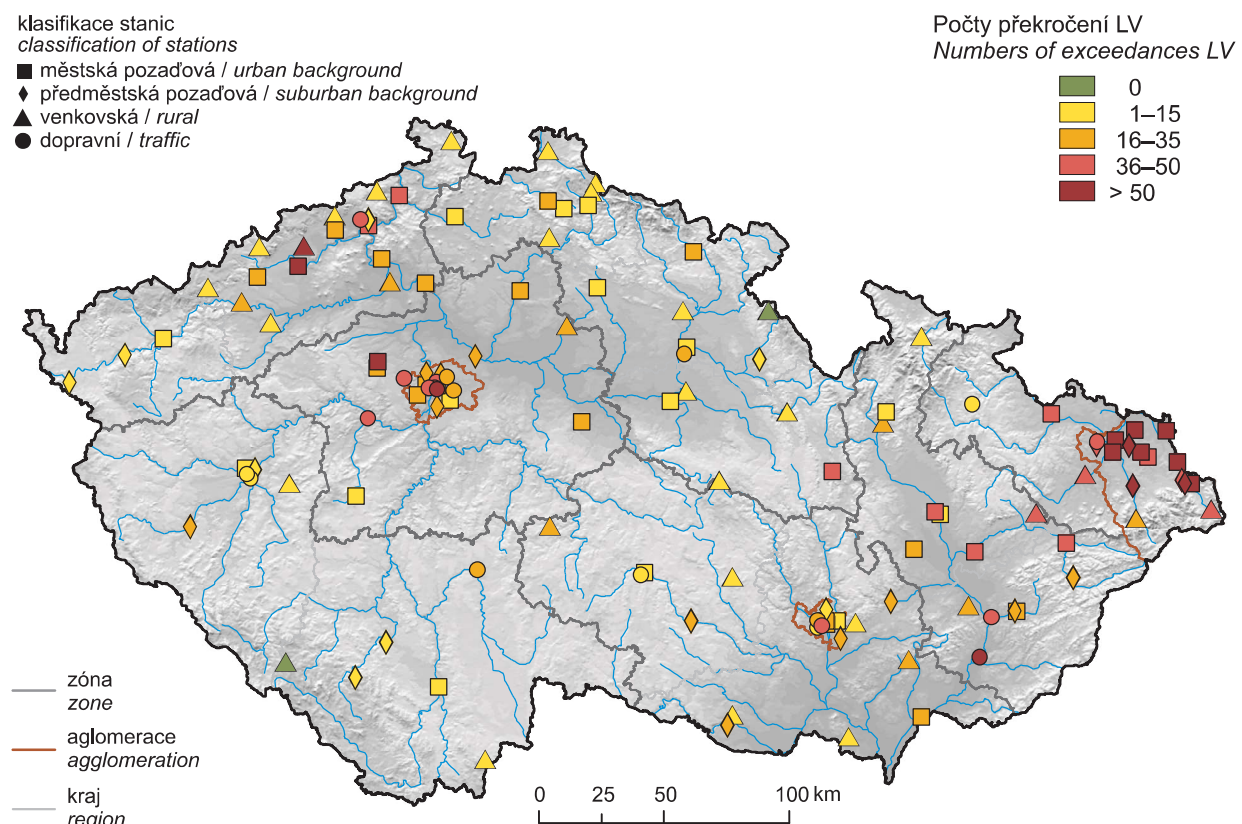
Fig. IV.1.10 36th highest 24-hour concentrations and annual average concentrations of PM₁₀ at selected rural (R) stations, 2008–2018

IV.1 KVALITA OVZDUŠÍ V ČESKÉ REPUBLICE – SUSPENDOVANÉ ČÁSTICE

IV.1 AIR QUALITY IN THE CZECH REPUBLIC – SUSPENDED PARTICULATE MATTER

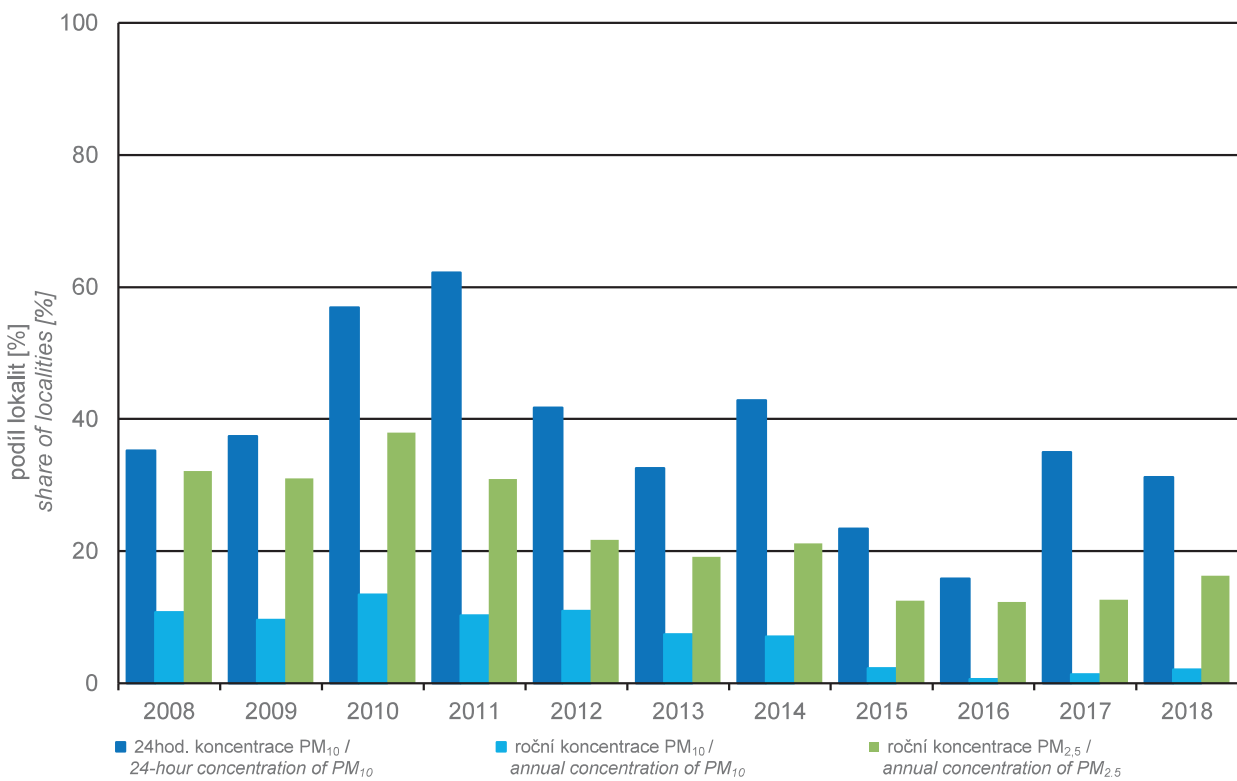


Obr. IV.1.11 Roční průměrné koncentrace $\text{PM}_{2.5}$ v ovzduší na vybraných stanicích, 2008–2018
Fig. IV.1.11 Annual average concentrations of $\text{PM}_{2.5}$ in the ambient air at selected stations, 2008–2018



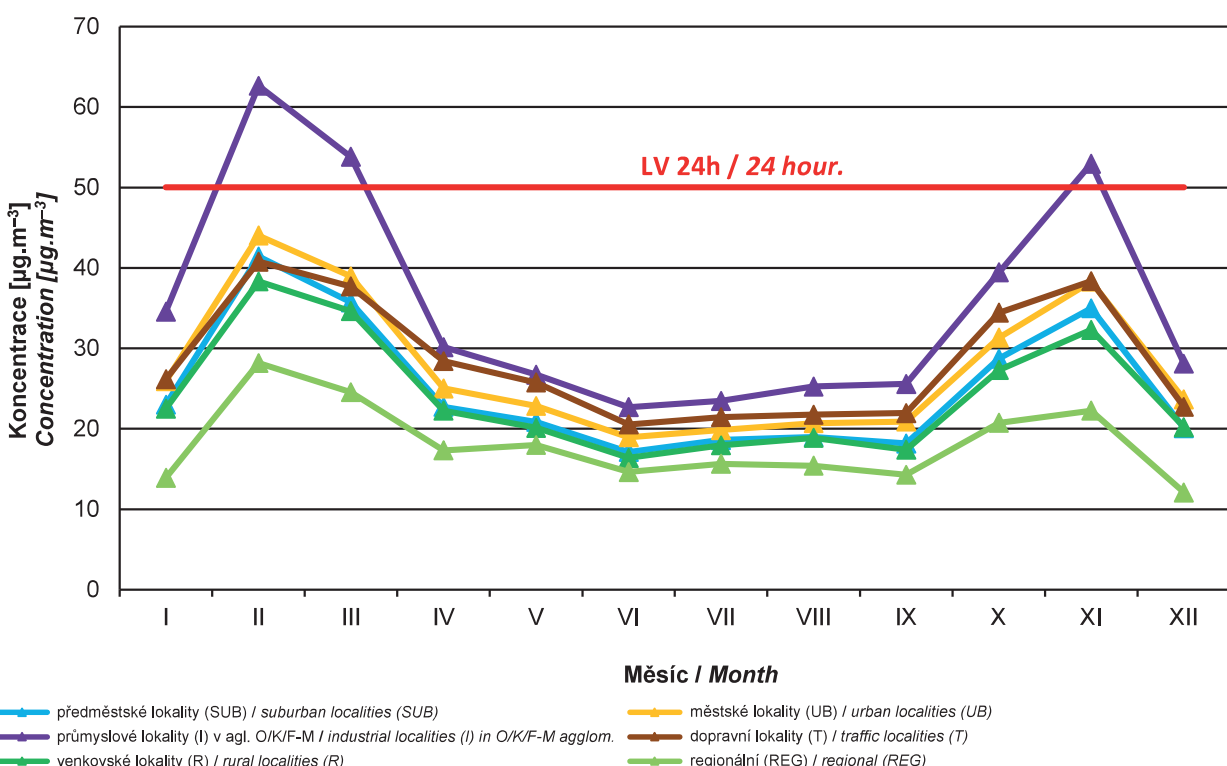
Obr. IV.1.12 Počty překročení hodnoty imisního limitu pro 24hod. koncentrace PM_{10} , 2018
Fig. IV.1.12 Numbers of exceedances of the limit value for 24-hour concentration of PM_{10} , 2018

IV.1 KVALITA OVZDUŠÍ V ČESKÉ REPUBLICE – SUSPENDOVANÉ ČÁSTICE
IV.1 AIR QUALITY IN THE CZECH REPUBLIC – SUSPENDED PARTICULATE MATTER



Obr. IV.1.13 Podíl lokalit, kde došlo k překročení imisního limitu pro průměrnou 24hod. koncentraci PM₁₀ a průměrnou roční koncentraci PM₁₀ a PM_{2.5}, 2008–2018

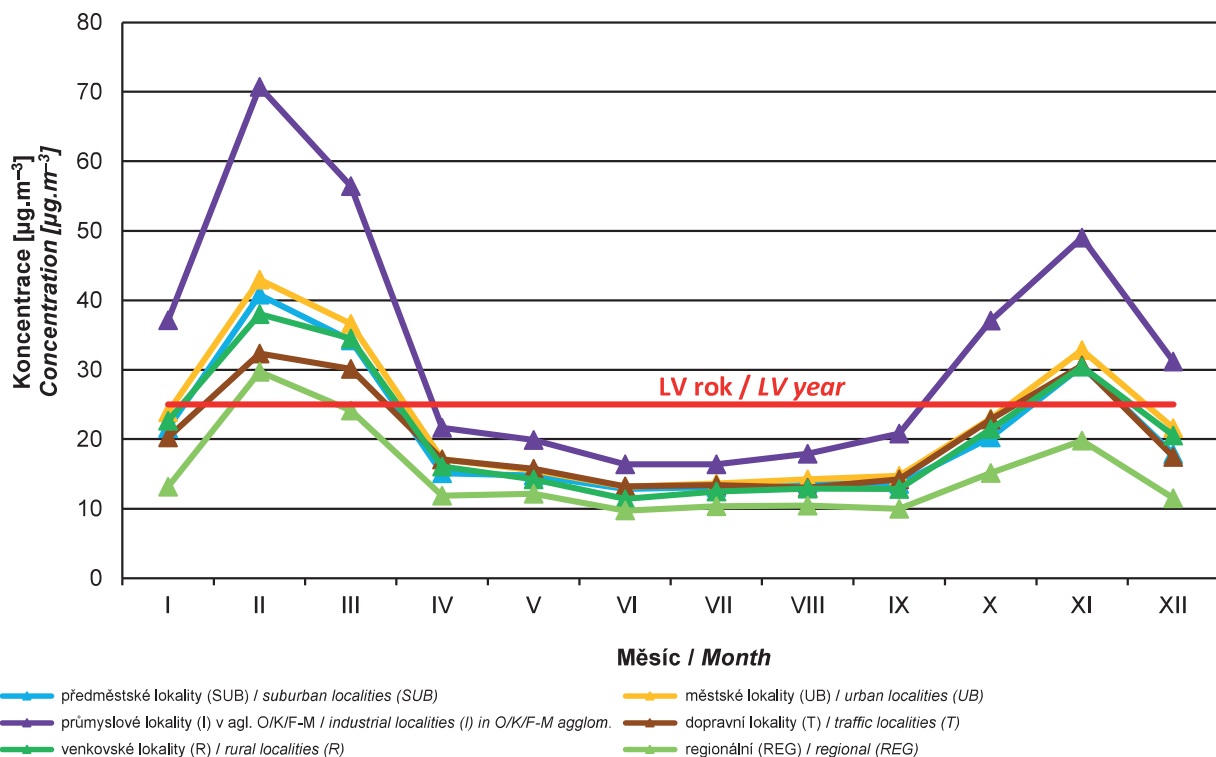
Fig. IV.1.13 Share of localities with the exceedance of the limit value for 24-hour concentration of PM₁₀ and annual average concentrations of PM₁₀ and PM_{2.5}, 2008–2018



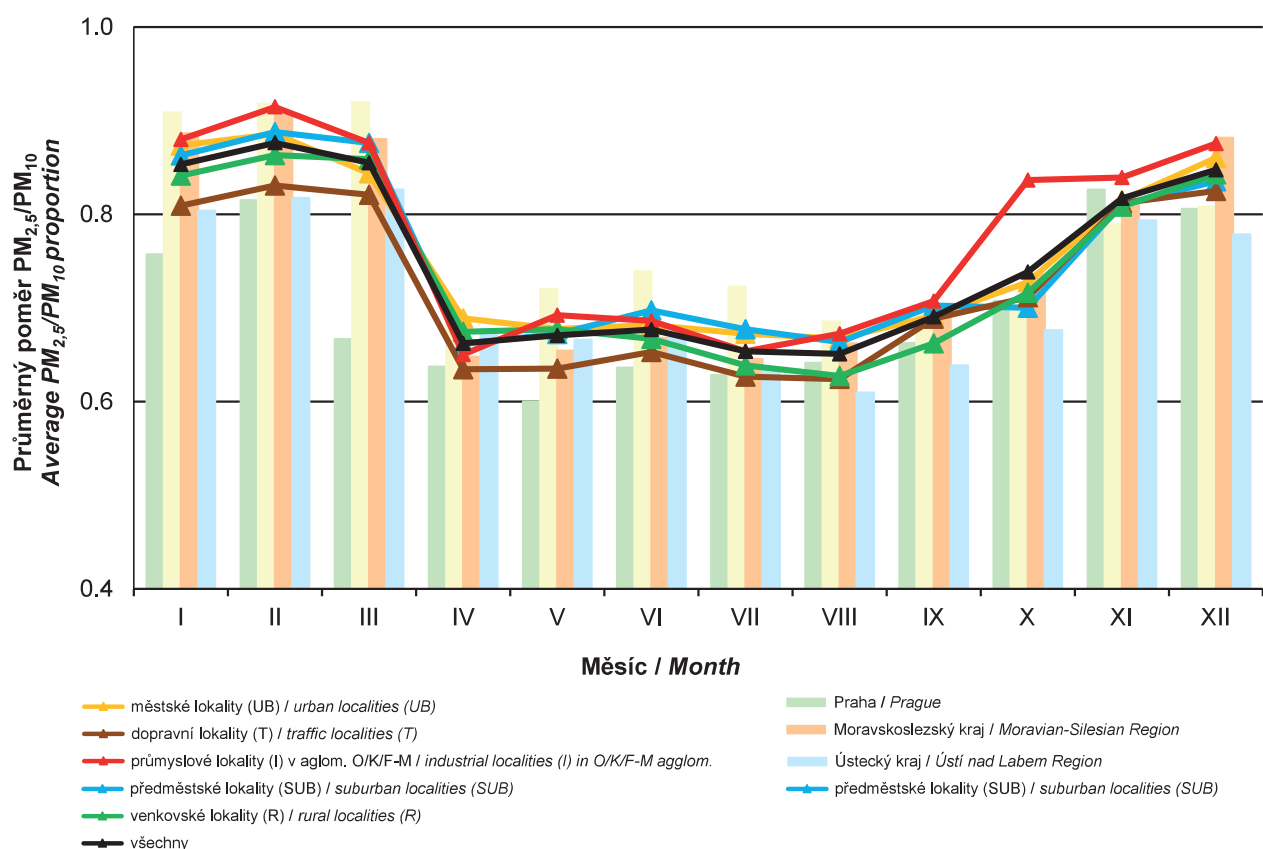
Obr. IV.1.14 Roční chod průměrných měsíčních koncentrací PM₁₀, 2018

Fig. IV.1.14 Annual course of average monthly concentrations of PM₁₀, 2018

IV.1 KVALITA OVZDUŠÍ V ČESKÉ REPUBLICE – SUSPENDOVANÉ ČÁSTICE IV.1 AIR QUALITY IN THE CZECH REPUBLIC – SUSPENDED PARTICULATE MATTER

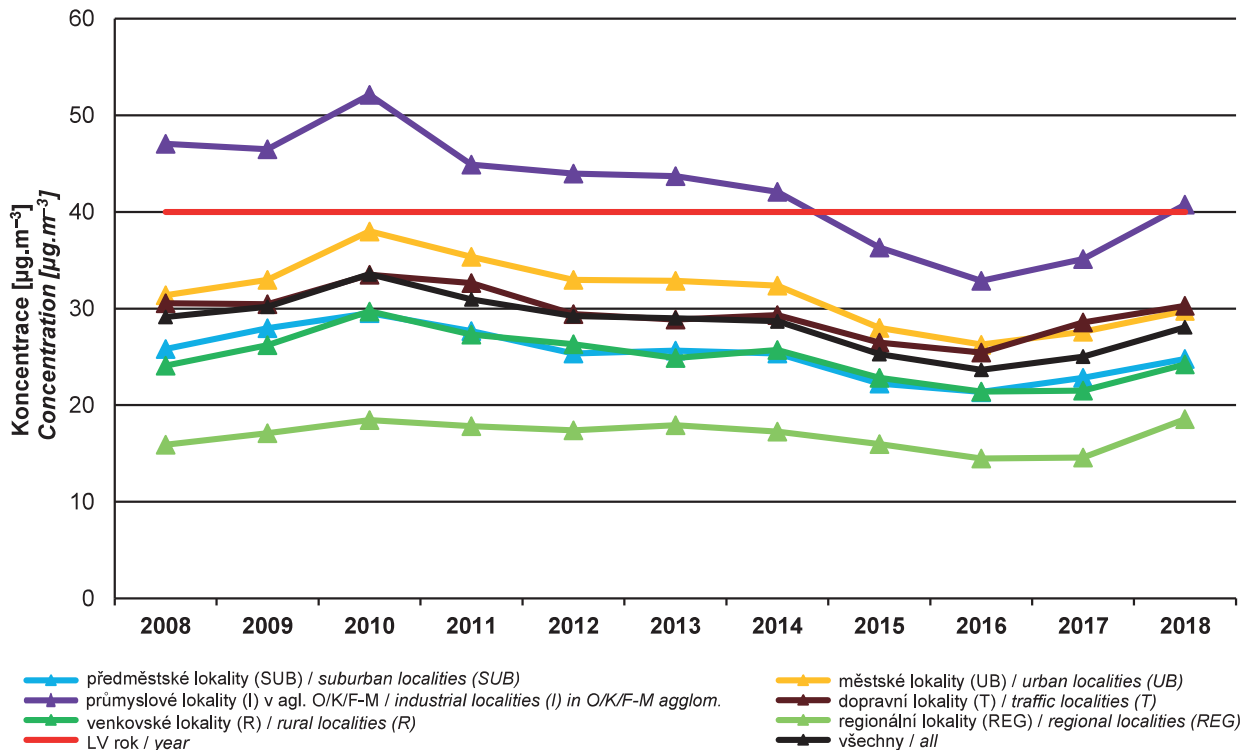


Obr. IV.1.15 Roční chod průměrných měsíčních koncentrací PM_{2.5}, 2018
Fig. IV.1.15 Annual course of average monthly concentrations of PM_{2.5}, 2018

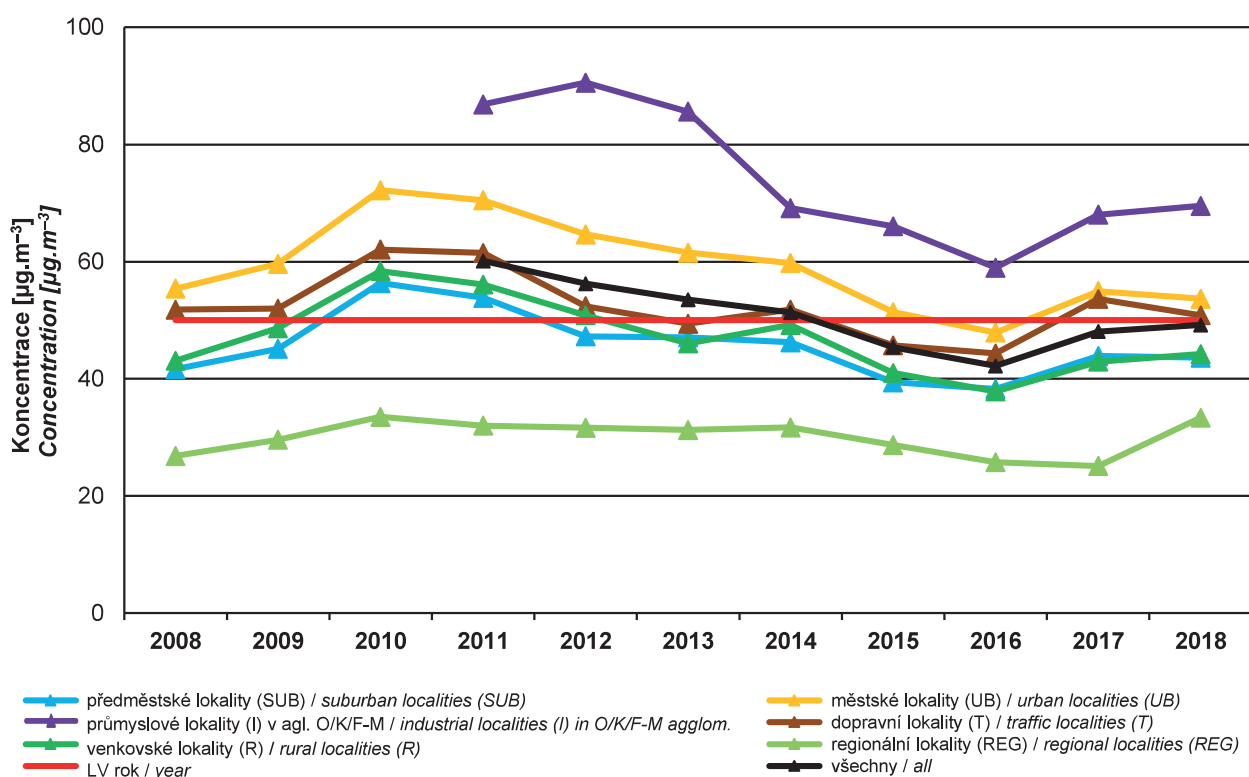


Obr. IV.1.16 Průměrné měsíční poměry PM_{2.5}/PM₁₀, 2018
Fig. IV.1.16 Average monthly PM_{2.5}/PM₁₀ ratio, 2018

IV.1 KVALITA OVZDUŠÍ V ČESKÉ REPUBLICE – SUSPENDOVANÉ ČÁSTICE
IV.1 AIR QUALITY IN THE CZECH REPUBLIC – SUSPENDED PARTICULATE MATTER

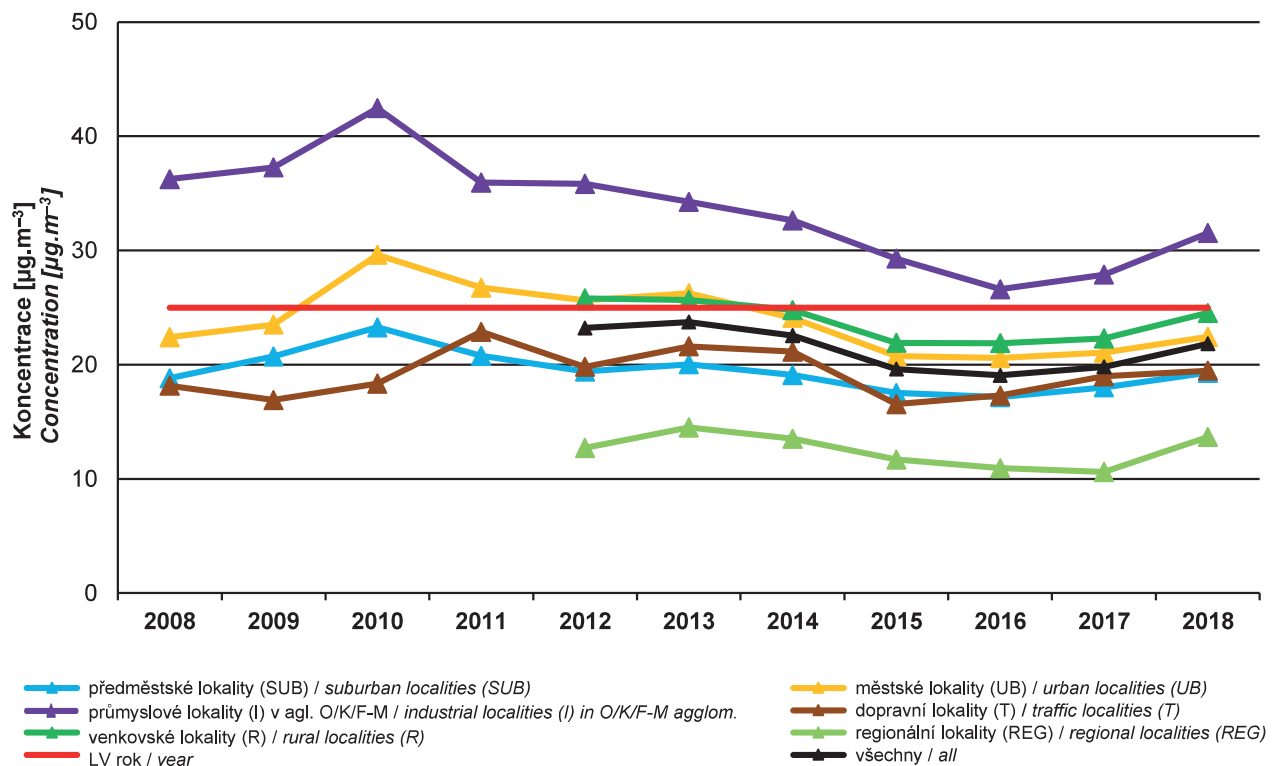


Obr. IV.1.17 Trend roční průměrné koncentrace PM_{10} v České republice, 2008–2018
Fig. IV.1.17 Trend of annual average concentration of PM_{10} in the Czech Republic, 2008–2018

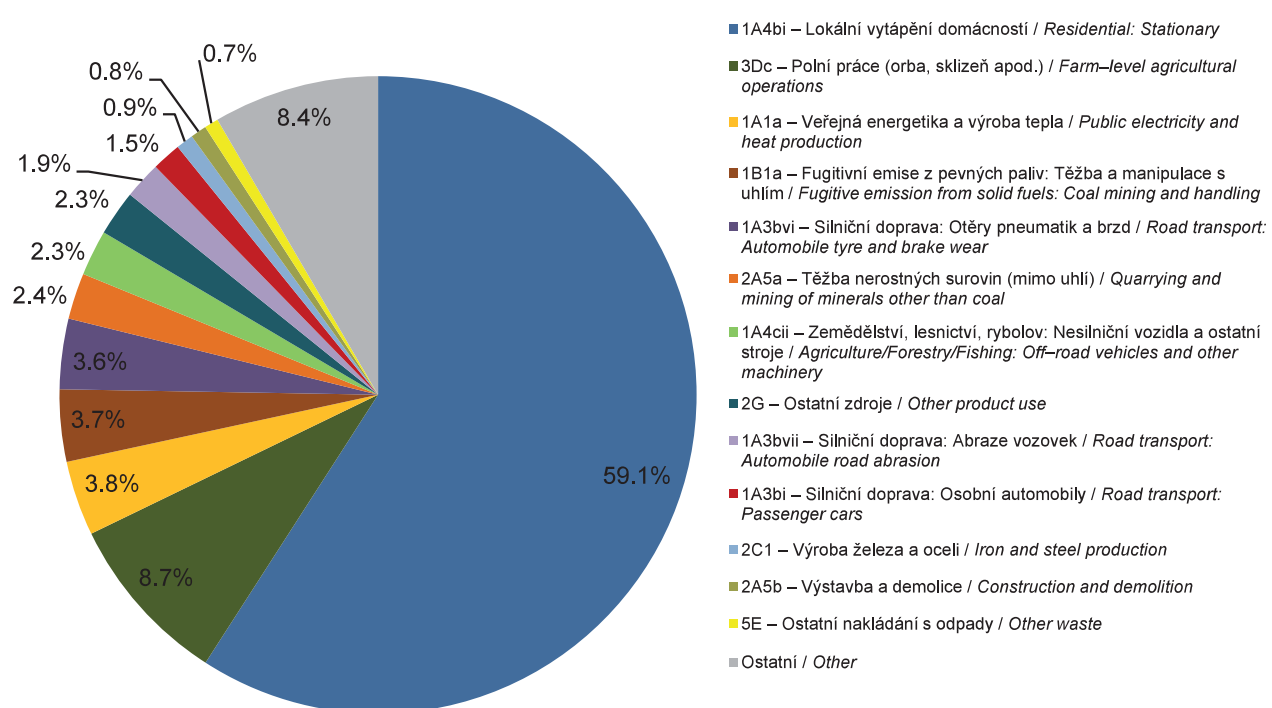


Obr. IV.1.18 Trend 36. nejvyšší 24hod. koncentrace PM_{10} v České republice, 2008–2018
Fig. IV.1.18 Trend of the 36th highest 24-hour concentration of PM_{10} in the Czech Republic, 2008–2018

IV.1 KVALITA OVZDUŠÍ V ČESKÉ REPUBLICE – SUSPENDOVANÉ ČÁSTICE IV.1 AIR QUALITY IN THE CZECH REPUBLIC – SUSPENDED PARTICULATE MATTER



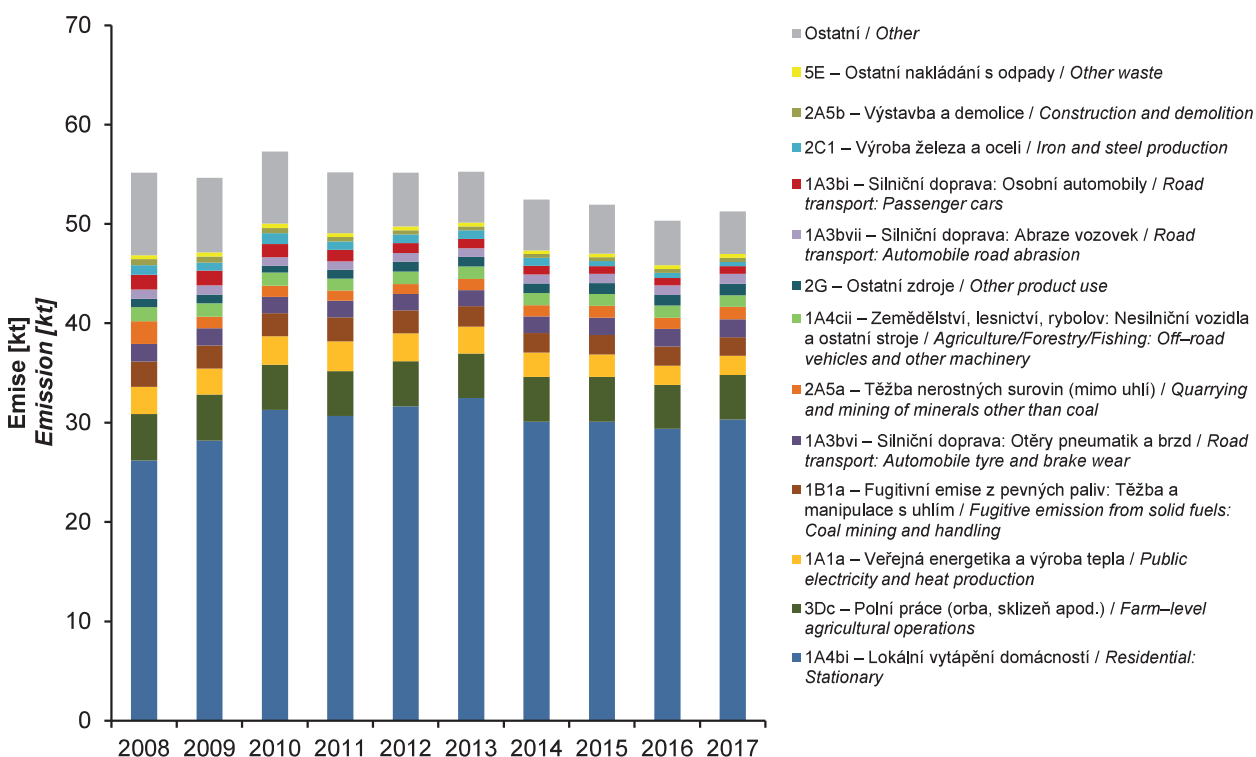
Obr. IV.1.19 Trend roční průměrné koncentrace PM_{2.5} v České republice, 2008–2018
Fig. IV.1.19 Trend of annual average concentration of PM_{2.5} in the Czech Republic, 2008–2018



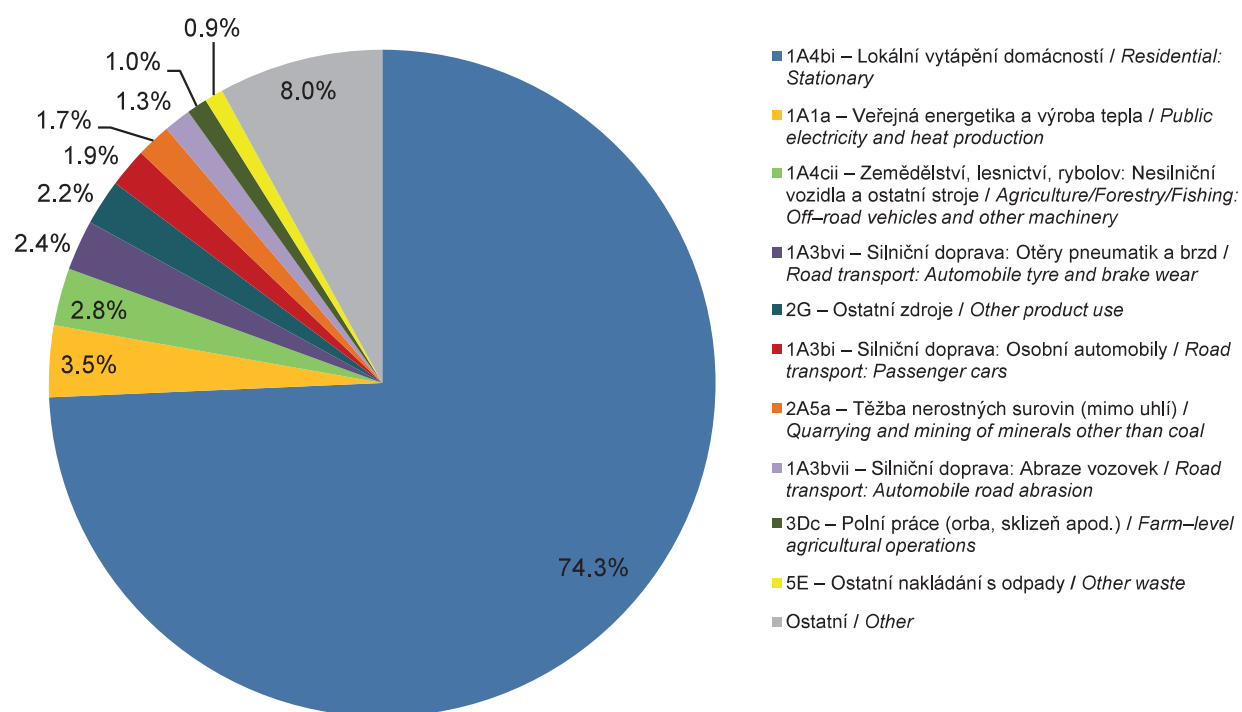
Obr. IV.1.20 Podíl sektorů NFR na celkových emisích PM₁₀, 2017
Fig. IV.1.20 Total emissions of PM₁₀ sourced out by NFR sectors, 2017

IV.1 KVALITA OVZDUŠÍ V ČESKÉ REPUBLICE – SUSPENDOVANÉ ČÁSTICE

IV.1 AIR QUALITY IN THE CZECH REPUBLIC – SUSPENDED PARTICULATE MATTER

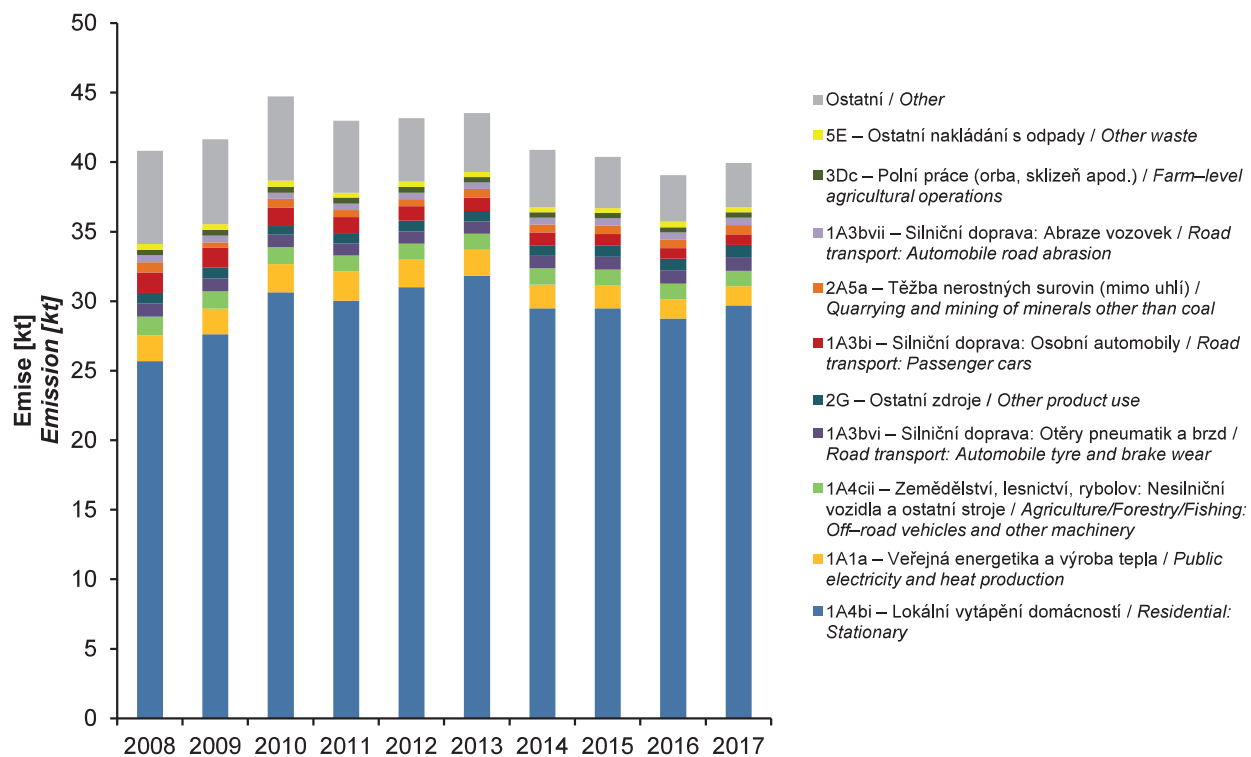


Obr. IV.1.21 Vývoj celkových emisí PM₁₀, 2008–2017
Fig. IV.1.21 The development of PM₁₀ total emissions, 2008–2017

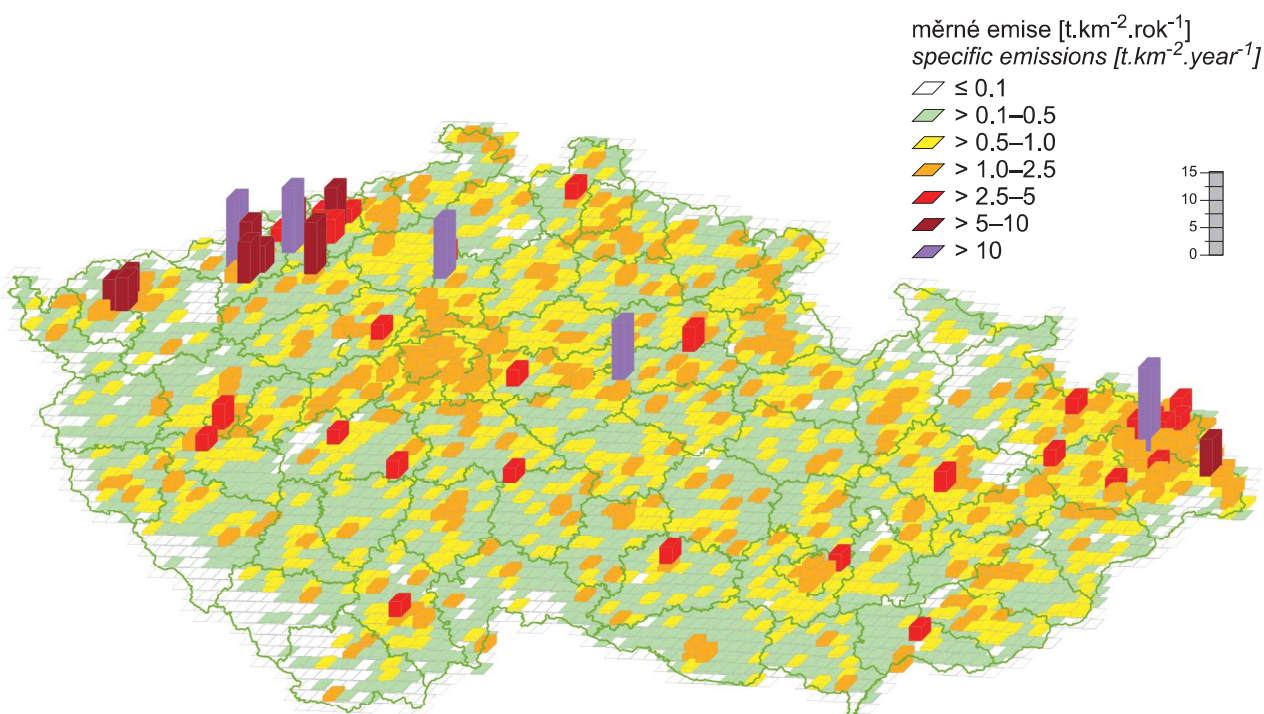


Obr. IV.1.22 Podíl sektorů NFR na celkových emisích PM_{2,5}, 2017
Fig. IV.1.22 Total emissions of PM_{2,5} sorted out by NFR sectors, 2017

IV.1 KVALITA OVZDUŠÍ V ČESKÉ REPUBLICE – SUSPENDOVANÉ ČÁSTICE IV.1 AIR QUALITY IN THE CZECH REPUBLIC – SUSPENDED PARTICULATE MATTER

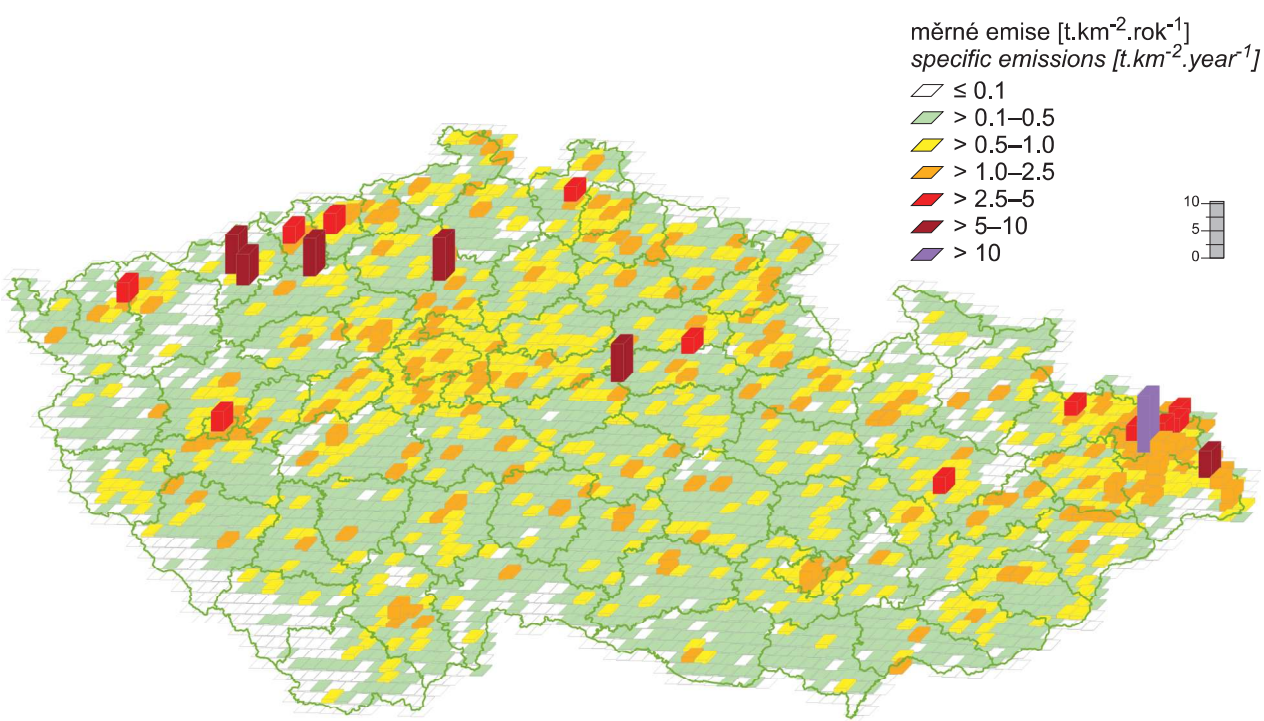


Obr. IV.1.23 Vývoj celkových emisí PM_{2,5}, 2008–2017
Fig. IV.1.23 The development of PM_{2,5} total emissions, 2008–2017



Obr. IV.1.24 Emisní hustoty PM₁₀ ze čtverců 5x5 km, 2017
Fig. IV.1.24 PM₁₀ emission density from 5x5 km squares, 2017

IV.1 KVALITA OVZDUŠÍ V ČESKÉ REPUBLICE – SUSPENDOVANÉ ČÁSTICE
IV.1 AIR QUALITY IN THE CZECH REPUBLIC – SUSPENDED PARTICULATE MATTER



Obr. IV.1.25 Emisní hustoty PM_{2.5} ze čtverců 5x5 km, 2017
Fig. IV.1.25 PM_{2.5} emission density from 5x5 km squares, 2017